

## 光与物质相互作用现象：

- 弱光 —— 吸收、色散、线性散射

表面等离激元、等离子体共振

(金属、等离子体中)

- 比较强的光 —— 非线性散射、其它非线性过程
- 强光 —— 非线性吸收、其它非线性过程、结构改变
- 超强光 —— 多光子电离、隧道电离、高次谐波

# 第二章 光的吸收和色散

## 2.1 光的吸收

### 2.1.1 光在线性介质中的传播

### 2.1.2 吸收的线性规律

### 2.1.3 复折射率

### 2.1.4 吸收与波长的关系

## 2.2 光的色散和群速色散

## 2.3 吸收和色散的经典描述

## 2.1.1 光在线性介质中的传播

$$\nabla \times \mathbf{E} = -\frac{\partial \mathbf{B}}{\partial t}$$

( $\mathbf{E}$ 环绕一回路的线积分)  
 $= -\frac{\partial}{\partial t}$  (穿过该回路的 $\mathbf{B}$ 通量)

$$\nabla \cdot \mathbf{D} = 0$$

(穿过一闭合面的 $\mathbf{D}$ 通量) = 0

$$\nabla \times \mathbf{H} = \frac{\partial \mathbf{D}}{\partial t} + \mathbf{J}$$

( $\mathbf{H}$ 环绕一回路的线积分)  
 $= \frac{\partial}{\partial t}$  (穿过该回路的 $\mathbf{D}$ 通量)  
+ 穿过该回路的电流

$$\nabla \cdot \mathbf{B} = 0$$

(穿过一闭合面的 $\mathbf{B}$ 通量) = 0

物质方程:  $\mathbf{D} = \varepsilon_0 \mathbf{E} + \mathbf{P} = \varepsilon \mathbf{E}$      $\mathbf{B} = \mu \mathbf{H}$      $\mathbf{J} = \sigma \mathbf{E}$

$$\nabla^2 \mathbf{E} - \sigma\mu \frac{\partial \mathbf{E}}{\partial t} - \varepsilon\mu \frac{\partial^2 \mathbf{E}}{\partial t^2} = 0 \quad \nabla^2 \mathbf{B} - \sigma\mu \frac{\partial \mathbf{B}}{\partial t} - \varepsilon\mu \frac{\partial^2 \mathbf{B}}{\partial t^2} = 0$$

方程解可以表达为  
简谐平面波之和：

$$\mathbf{E} = \mathbf{E}_0 e^{i(\mathbf{k} \cdot \mathbf{r} - \omega t)} \quad \mathbf{B} = \mathbf{B}_0 e^{i(\mathbf{k} \cdot \mathbf{r} - \omega t)}$$

$$-k^2 + i\sigma\mu\omega + \varepsilon\mu\omega^2 = 0 \quad k^2 = \omega^2 \mu \left( \varepsilon + i \frac{\sigma}{\omega} \right) = \omega^2 \mu \varepsilon_\omega$$

复介电常数：  $\varepsilon_\omega = \left( \varepsilon + i \frac{\sigma}{\omega} \right)$

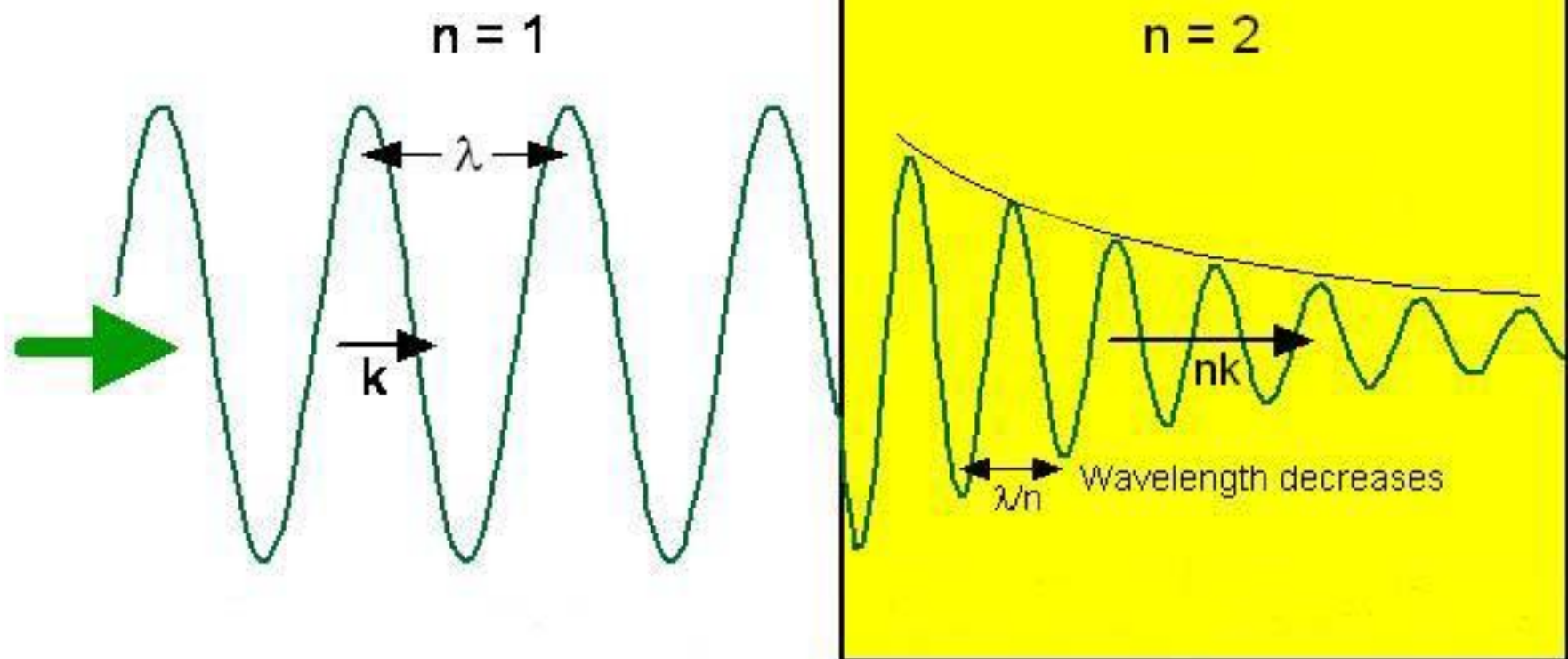
$$k = k_r + ik_i$$

振幅：  $\mathbf{E} = \mathbf{E}_0 e^{ik_r x} e^{-k_i x}$

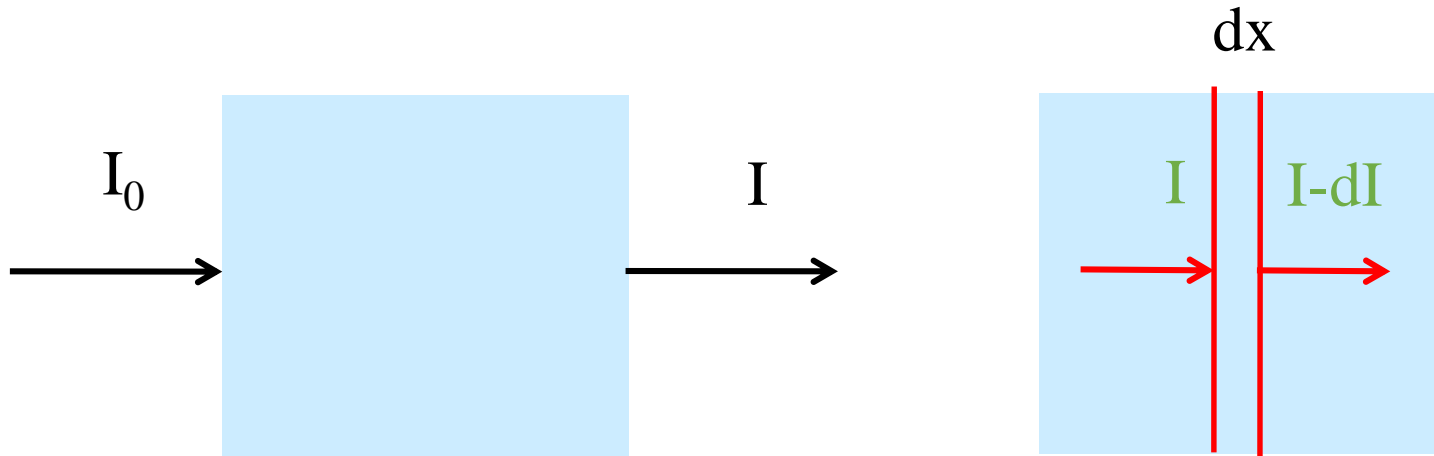
复折射率：  $\tilde{n} = n + i\eta = \frac{c}{\omega} (k_r + ik_i)$

Vacuum (or air)

Medium



## 2.1.2 吸收的线性规律



吸收系数 $\alpha$ : 
$$\frac{dI}{I} = -\alpha dx$$

线性吸收: 
$$I = I_0 e^{-\alpha l} \quad (\text{朗伯公式})$$

通过厚度为 $1/\alpha$ 的介质，光强减弱为原来的 $1/e$

$$\mathbf{E} = \mathbf{E}_0 e^{ik_r x} e^{-k_i x} \quad \longrightarrow \quad \alpha = 2k_i$$

传播损耗： $\alpha(dB/km) = -\frac{10}{L} \log_{10} \left( \frac{P_{out}}{P_{in}} \right)$

如果 $\left( \frac{P_{out}}{P_{in}} \right) = 0.5$        $\alpha(dB/km)L = 3.01dB$

与吸收系数的关系： $\alpha = -\frac{1}{L} \ln \left( \frac{P_{out}}{P_{in}} \right)$

$$\alpha(dB/km) = \frac{10}{\ln 10} \alpha = 4.343 \alpha$$

## 2.1.3 吸收与波长的关系

*物质材料特性决定透明波段：*

大气	300nm — 760nm
----	---------------

石英	180nm — 4000nm
----	----------------

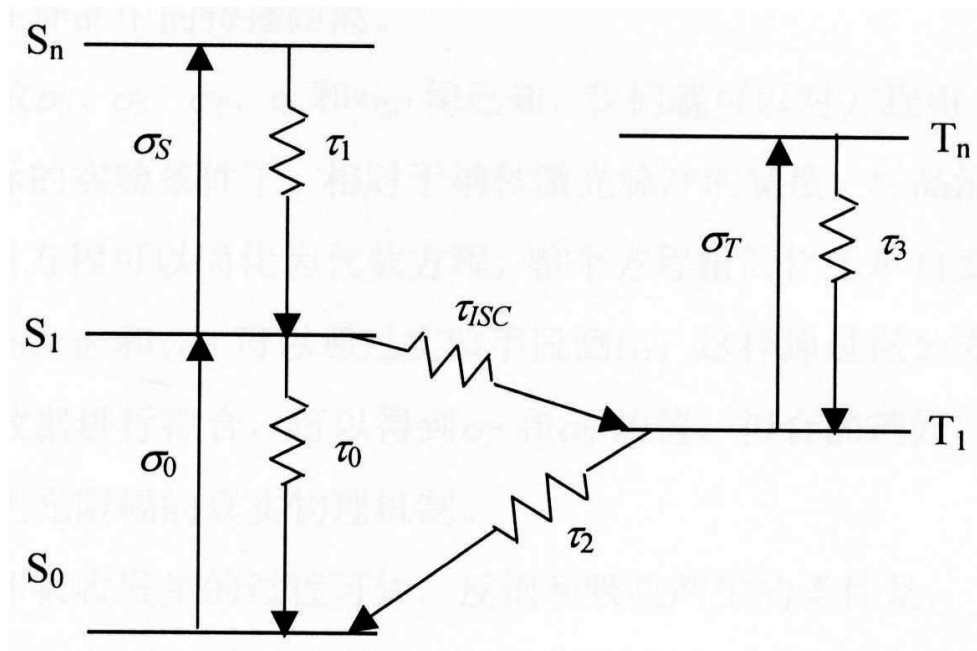
冕玻璃	350nm — 2000nm
-----	----------------

火石玻璃	380nm — 2500nm
------	----------------

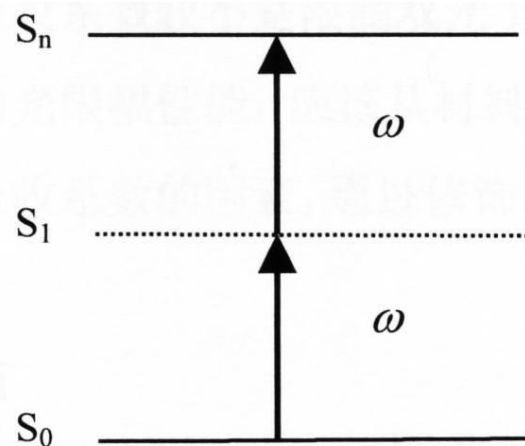
氟化锂	110nm — 7000nm
-----	----------------



## 非线性吸收举例



反饱和吸收



双光子吸收

# 第二章 光的吸收和色散

## 2.1 光的吸收

## 2.2 光的色散和群速色散

### 2.2.1 色散

### 2.2.2 群速色散

### 2.2.3 脉冲畸变

## 2.3 吸收和色散的经典描述

## 2.2 光的色散和群速色散

### 2.2.1 色散

- 光在介质中的传播速度（或折射率 $n$ ）随波长变化而改变的现象 —— 色散
- 材料 $n$ 与 $\lambda$ 的关系曲线——色散曲线

实验表明：在可见光范围，无色透明的介质的色散曲线形式上都很相似。

基本特征： $n$ 随 $\lambda$ 的增加而单调下降，在短波端下降率更大。

$$\frac{dn}{d\lambda} < 0 \quad \text{或} \quad \frac{dn}{d\omega} > 0 \quad \text{—— 正常色散}$$

科希公式：

$$n = A + \frac{B}{\lambda^2} + \frac{C}{\lambda^3}$$

在强吸收波段：随 $\lambda$ 增大 $n$ 也随之增加

$$\frac{dn}{d\lambda} > 0 \quad \text{或} \quad \frac{dn}{d\omega} < 0 \quad \text{—— 反常色散}$$

产生色散的原因：所有光学材料的介电响应的内在频率依赖

结果：波包在色散介质中传播将变宽

引起的问题：

- 限制信息在光纤中传播的速率

- 限制锁模激光器中产生脉冲的宽度

- 限制非线性相互作用

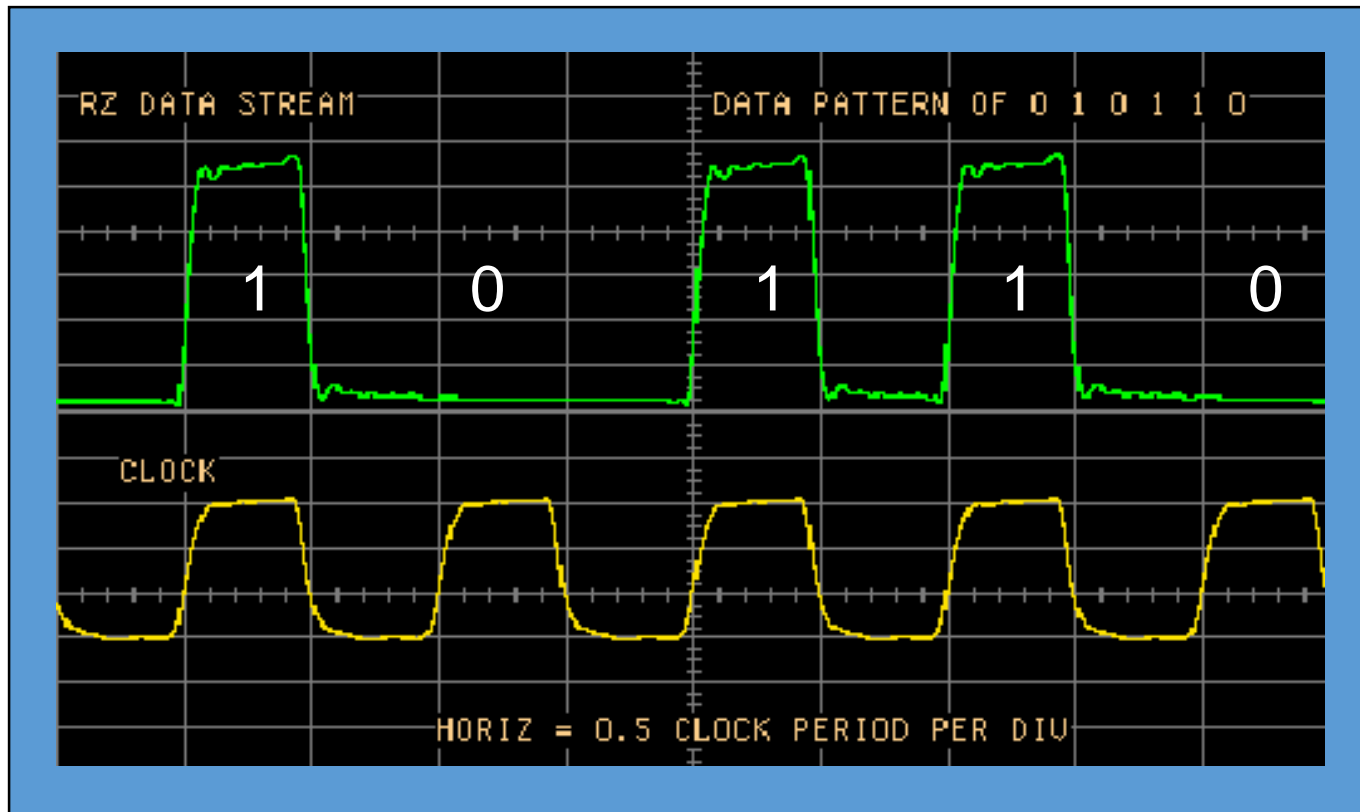
如何克服：

- 加入负色散光纤

- 色散补偿

- 利用各向异性

## 2.2.2 群速色散：群速随波长变化



现代光通信系统中传输信息的光脉冲

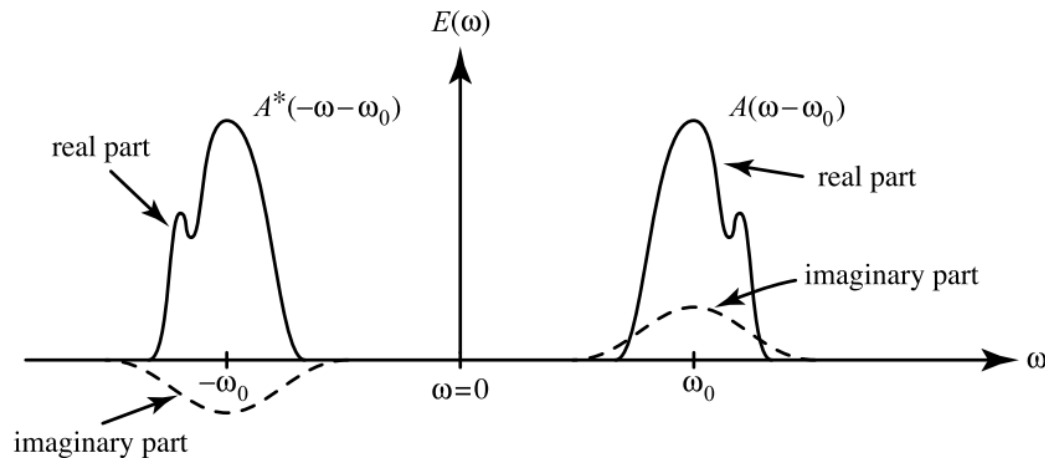
# 脉冲的傅里叶变换

$$\varepsilon(t) = \frac{1}{2\pi} \int_{-\infty}^{+\infty} E(\omega) e^{-i\omega t} d\omega \quad E(\omega) = \int_{-\infty}^{+\infty} \varepsilon(t) e^{i\omega t} dt \quad (\text{复数表示})$$

对于中心频率为 $\omega_0$ 的光脉冲:

$$e(t) = \text{Re}[a(t)e^{-i\omega_0 t}] = \frac{1}{2} [a(t)e^{-i\omega_0 t} + a^*(t)e^{i\omega_0 t}]$$

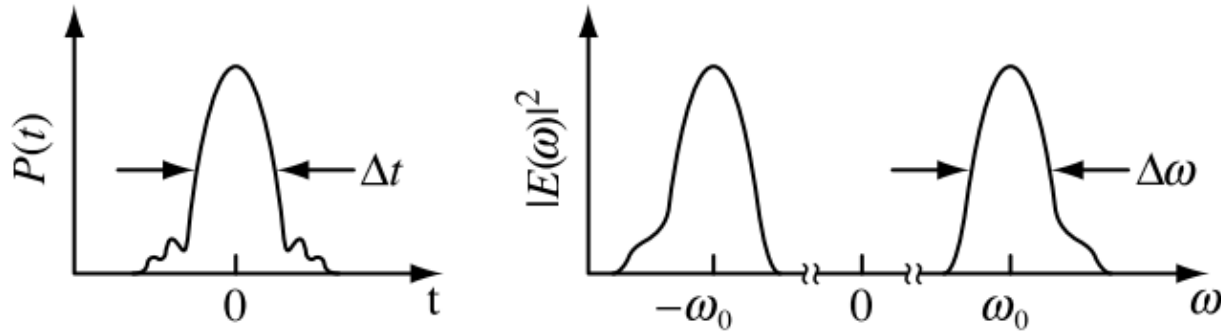
$$E(\omega) = \frac{1}{2} [A(\omega - \omega_0) + A^*(-\omega - \omega_0)] \quad A(\omega) = \int_{-\infty}^{\infty} a(t)e^{i\omega t} dt$$





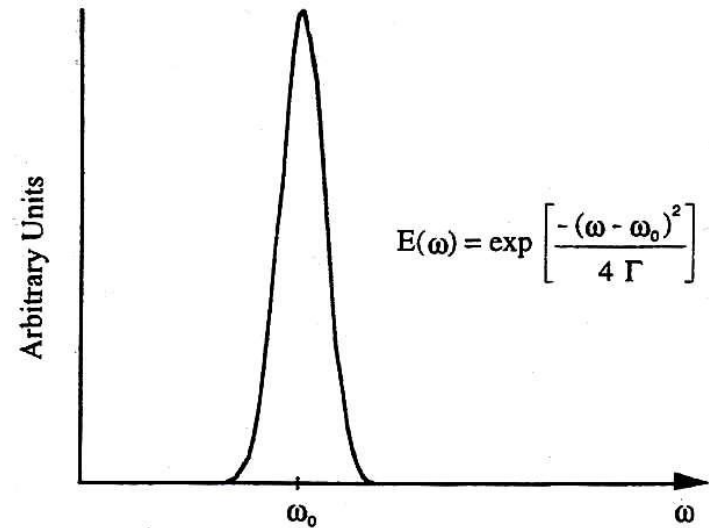
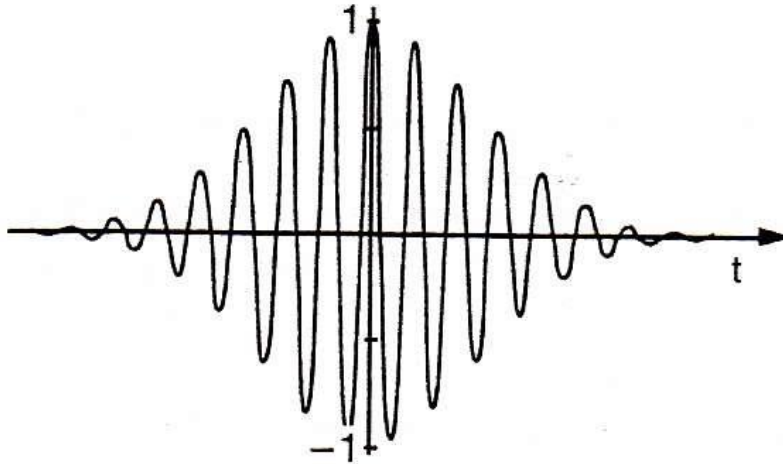
平均能量:  $P(t) = |a(t)|^2$

$$|E(\omega)|^2 = \frac{1}{4} [|A(\omega - \omega_0)|^2 + |A(-\omega - \omega_0)|^2]$$

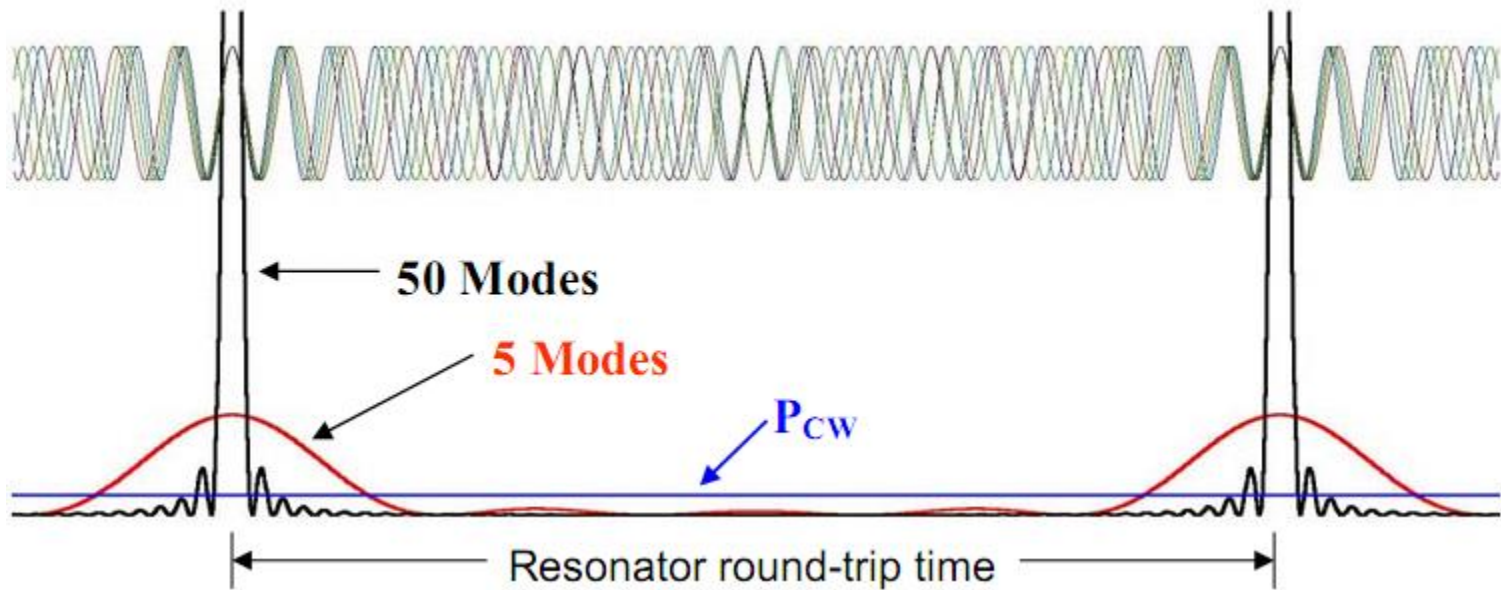
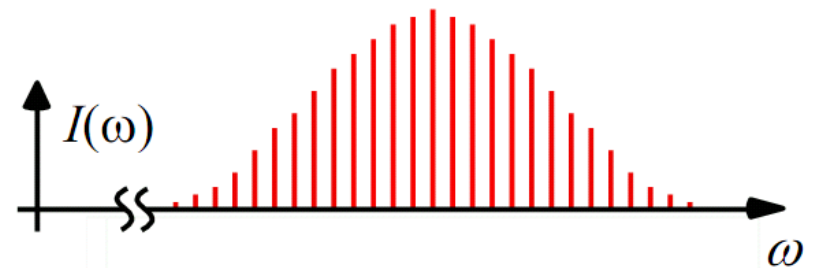
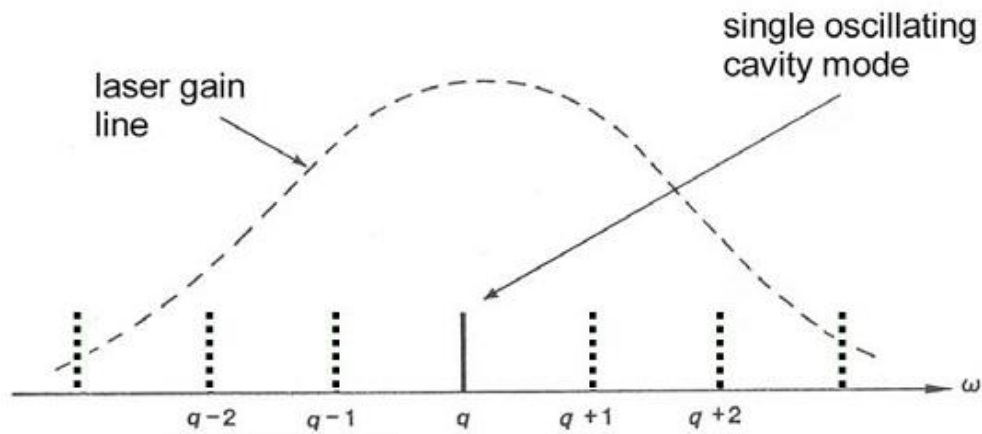


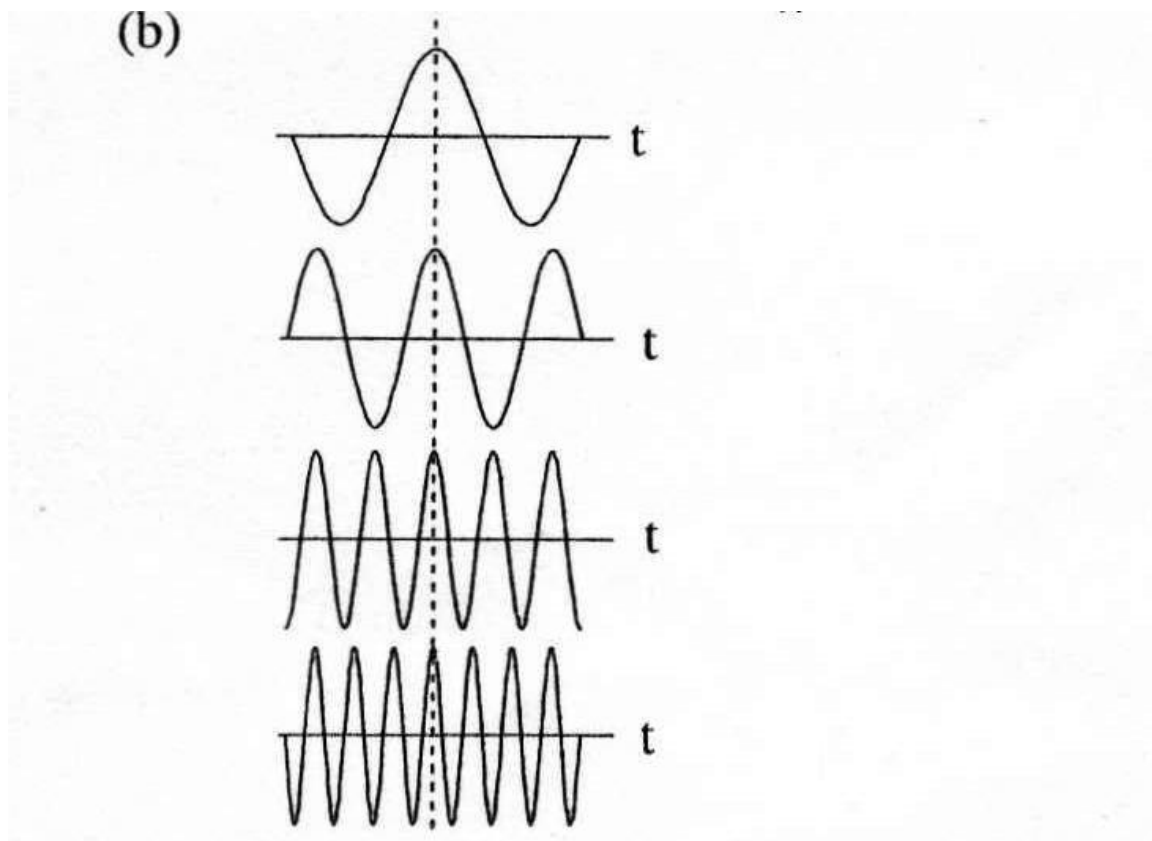
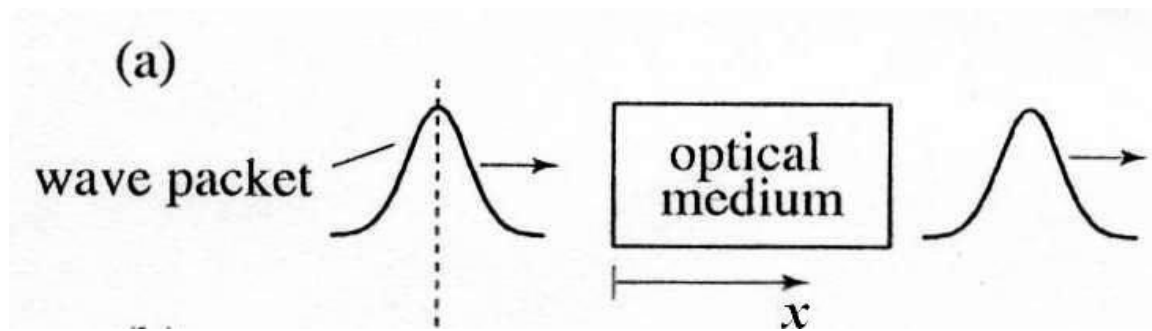
$$\Delta t \Delta \omega \geq \frac{1}{2}$$

Gaussian pulse:  $E = \text{Re}[a(t)e^{-i\omega_0 t}] = \text{Re}(E_0 e^{-\Gamma t^2} e^{-i\omega_0 t})$



# 脉冲激光器中的纵模





峰值位置:

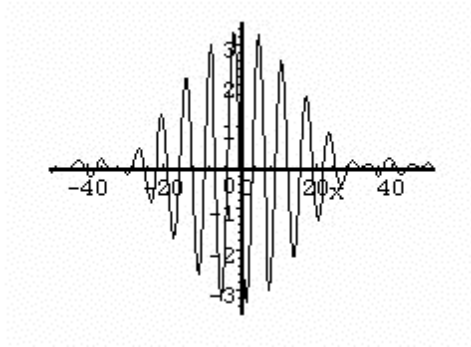
同相相加

没有脉冲畸变:

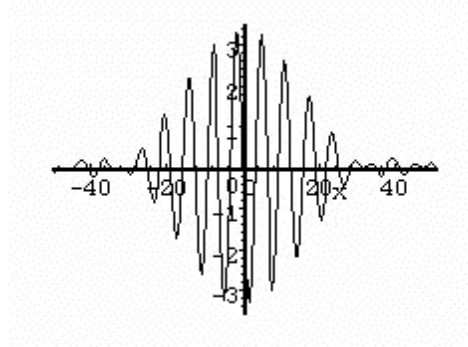
$$\frac{d\phi}{d\omega} = 0$$

光脉冲及其傅立叶变换

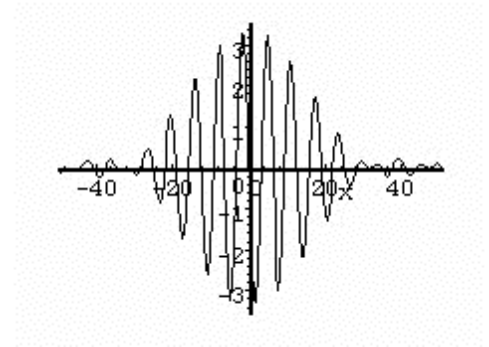
# 群速 ( $v_g$ ) 和相速 ( $v_p$ )



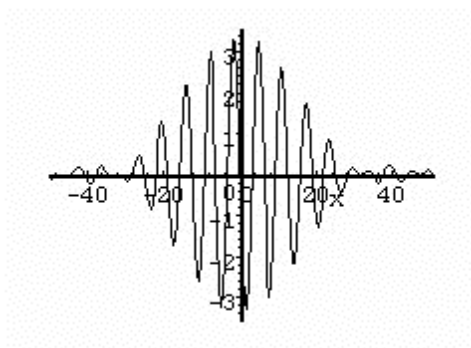
$$V_g = 0$$



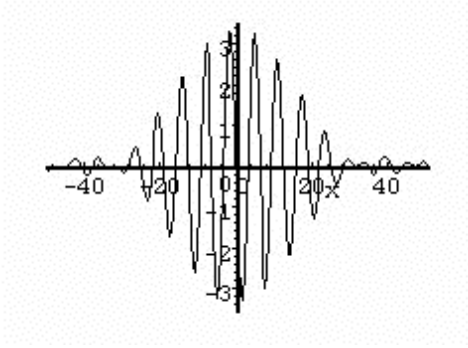
$$V_g < V_p$$



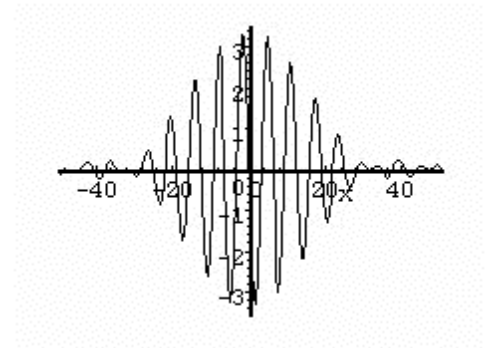
$$V_g = V_p$$



$$V_p = 0$$

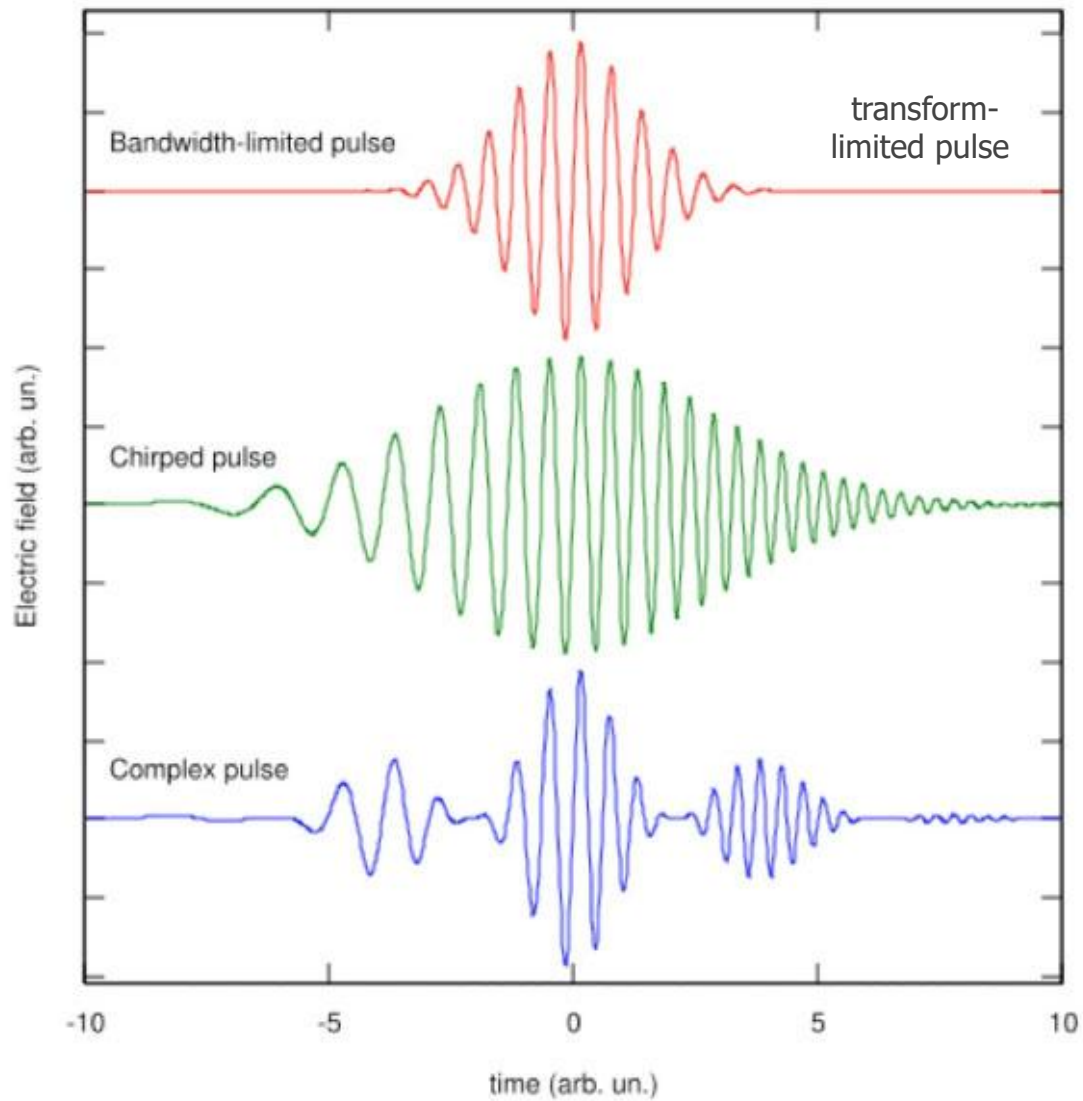


$$V_g > V_p$$

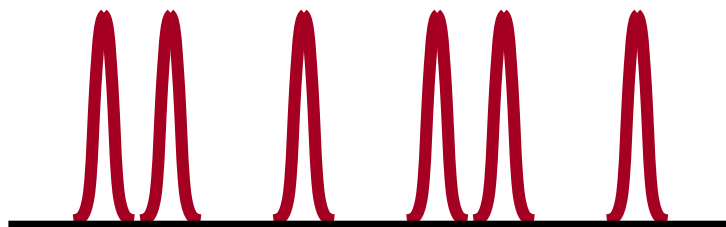


$$V_g = -V_p$$

## 2.2.3 脉冲畸变



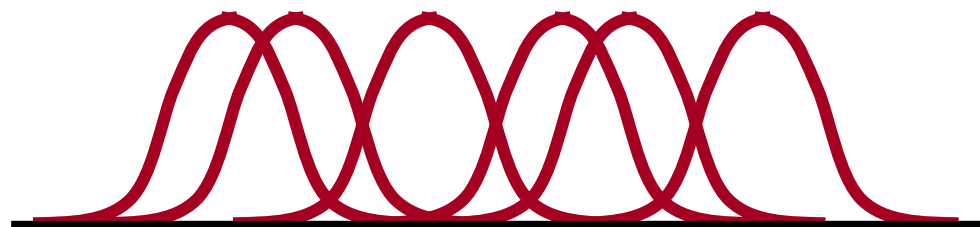
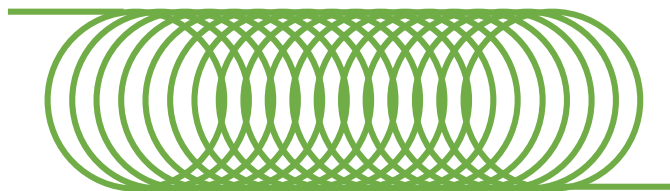
Train of input telecom pulses



色散导致短脉冲扩展成为长脉冲。

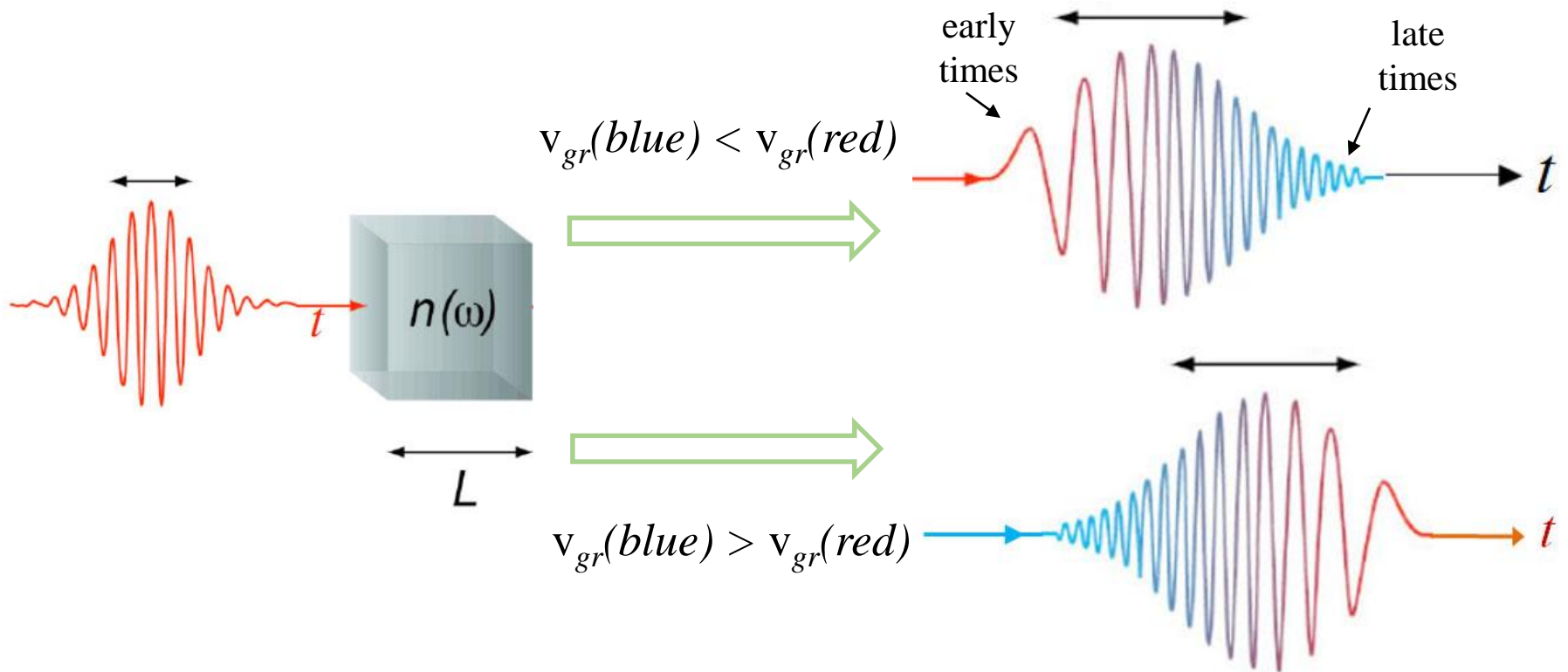


Many km of fiber



Train of output telecom pulses

# 经过正常色散和反常色散介质后脉冲波形的变化

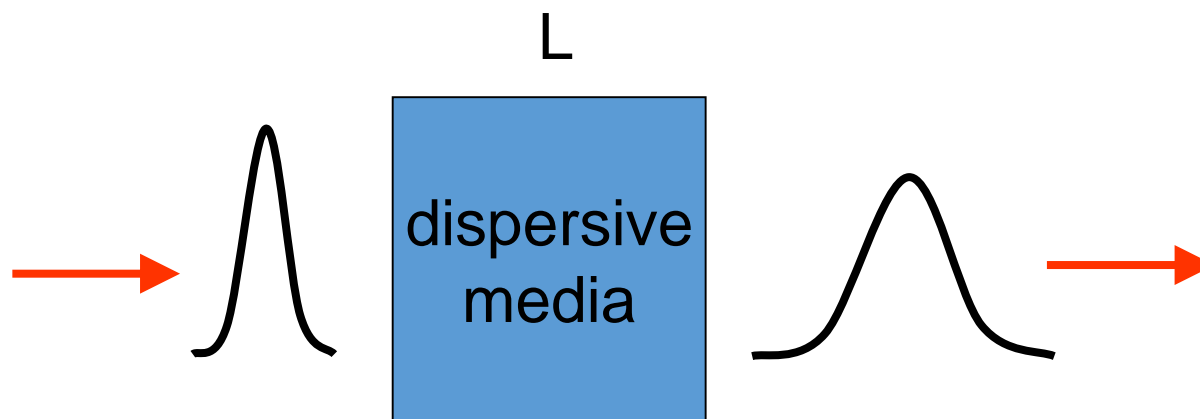


频率随时间改变：啁啾

$$A(t) = A_0 \exp\left(\frac{-t^2}{2\tau^2}\right) \exp\left(\frac{-i\eta t^2}{2}\right) e^{-i\omega_0 t} \quad \omega(t) = -\frac{\partial \phi(t)}{\partial t} = \omega_0 + \eta t$$



脉冲经过色散介质：



渡越时间：  $T = \frac{L}{v_g} = \frac{n_g(\omega)L}{c}$

无展宽：各频率成分脉冲渡越时间相同；

展宽：各频率成分脉冲渡越时间不同。

$$dT = \frac{L}{c} dn_g(\omega) \quad \longrightarrow \quad \Delta T = \frac{L}{c} \Delta n_g(\omega) \quad \text{脉冲展宽}$$

脉冲展宽:  $\Delta T = \frac{L}{c} \Delta n_g(\omega)$

传播常数:  $k(\omega) = n(\omega) \frac{\omega}{c} = k_0 + k_1(\omega - \omega_0) + \frac{1}{2} k_2(\omega - \omega_0)^2 + \dots$

光脉冲平均波数:  $k_0 = k(\omega_0)$

$$k_1 = \left. \frac{dk}{d\omega} \right|_{\omega=\omega_0} = \frac{1}{v_g} = \frac{n_g}{c} \quad \text{群速的倒数}$$

$$k_2 = \left. \frac{d^2 k}{d\omega^2} \right|_{\omega=\omega_0} = \frac{d(1/v_g)}{d\omega} = \frac{1}{c} \frac{dn_g}{d\omega} \quad \text{群速的色散参数 (GVD parameter)}$$

脉冲展宽:  $\Delta T = L k_2 \Delta \omega$

$\Delta \omega$ : 脉冲的频谱宽度, 从最大值下降到 $1/e$ 的 $\omega$ 间隔

色散长度 $L_D$ : 为 $\Delta T = T_0$ 时介质的长度

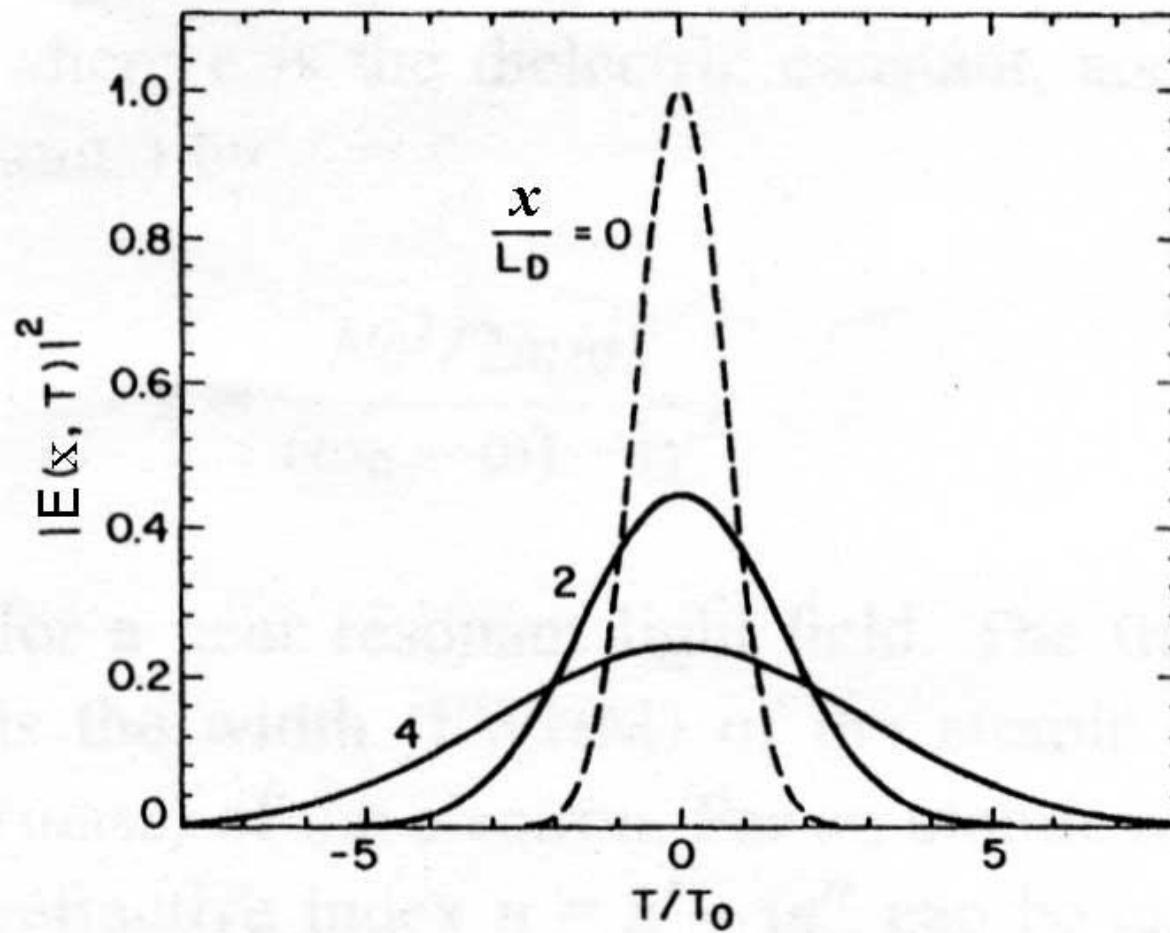
$T_0$ : 为光强下降到 $1/e$ 时的时间

$$T_0 \text{ 与 } \Delta\omega \text{ 的关系: } T_0 = \frac{1}{\Delta\omega}$$

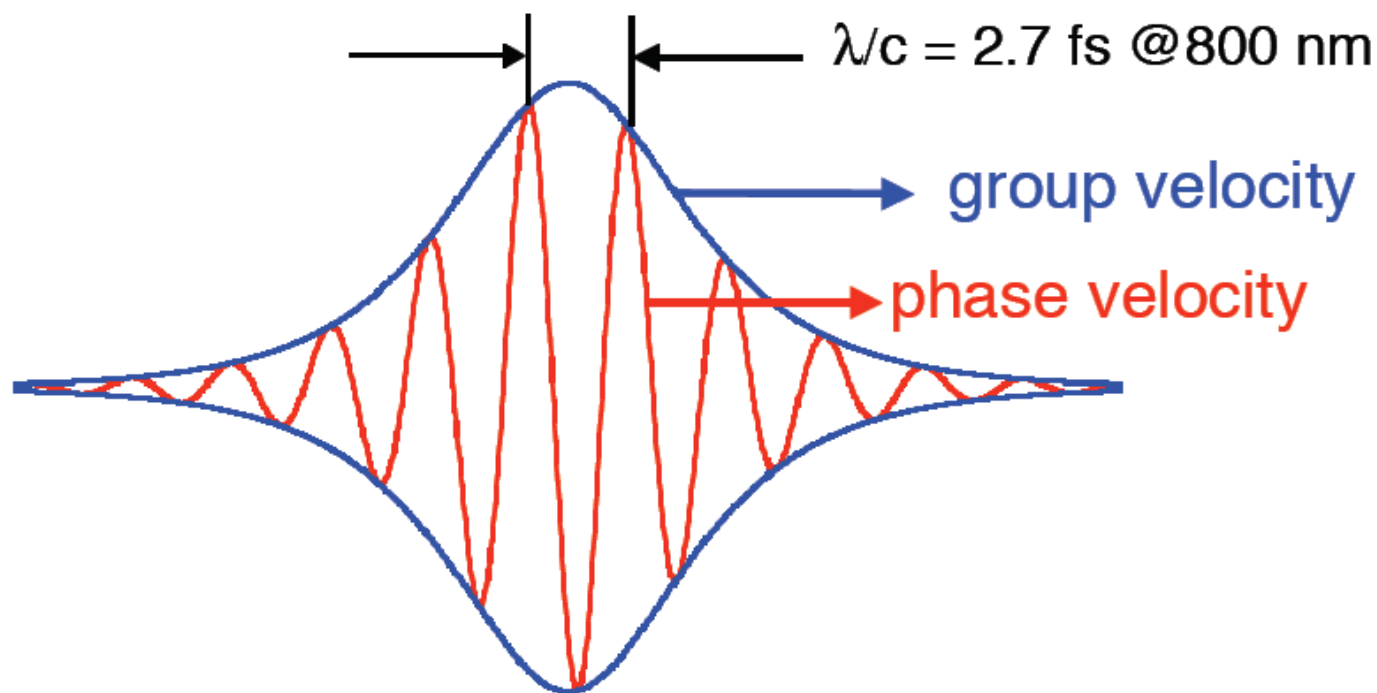
$$\Delta T = L_D k_2 \Delta\omega = L_D k_2 \frac{1}{T_0} = T_0$$

$$\text{色散长度: } L_D = \frac{T_0^2}{|k_2|}$$

介质长度 $L \ll L_D$ 时, 展宽可以忽略

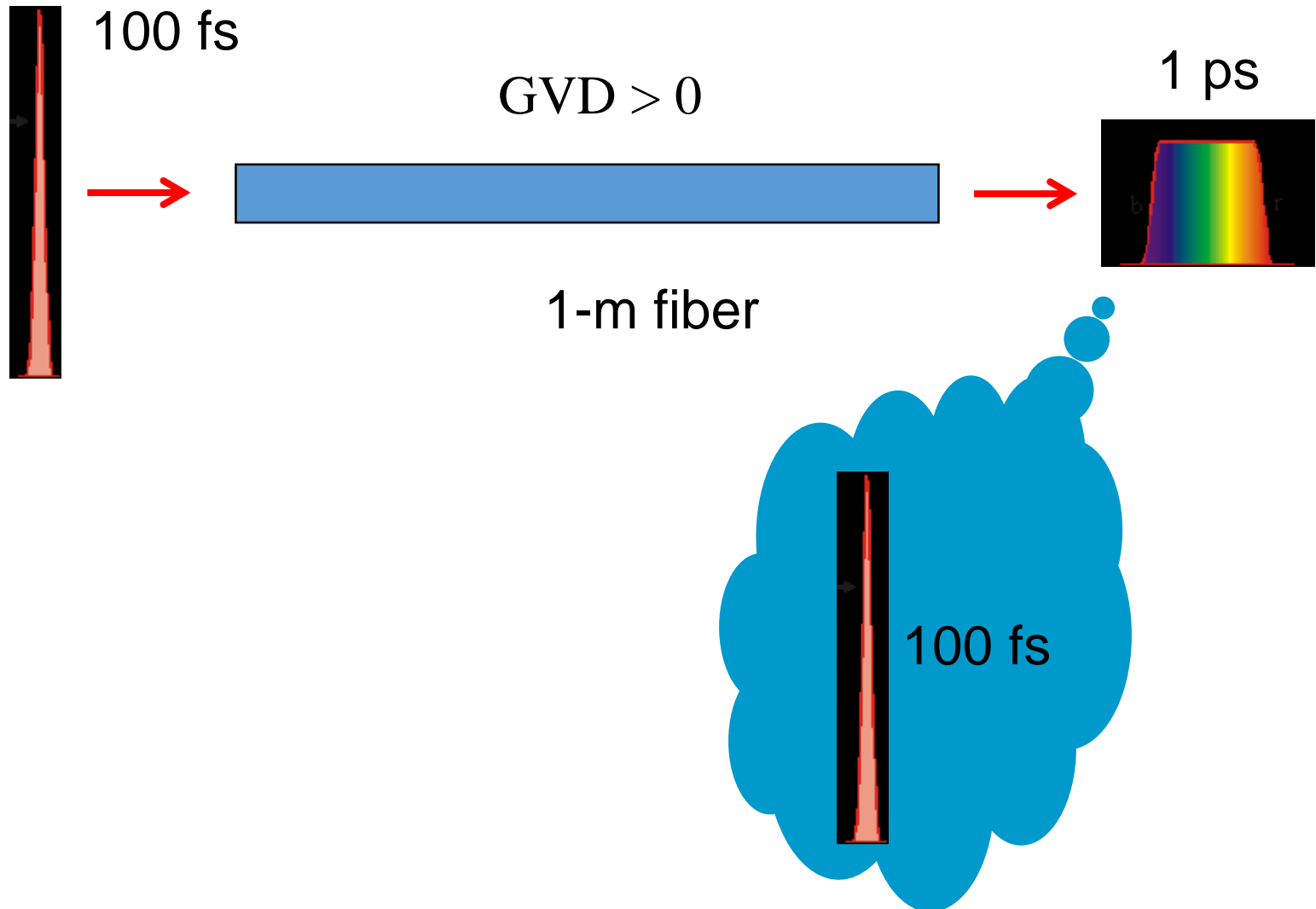


脉冲展宽



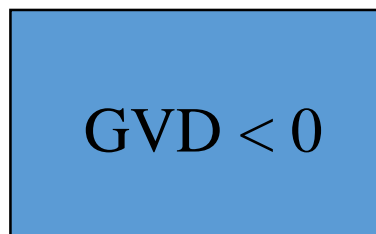
色散对超短脉冲的影响非常严重！

# 群速色散补偿实例





100 fs



时域展宽

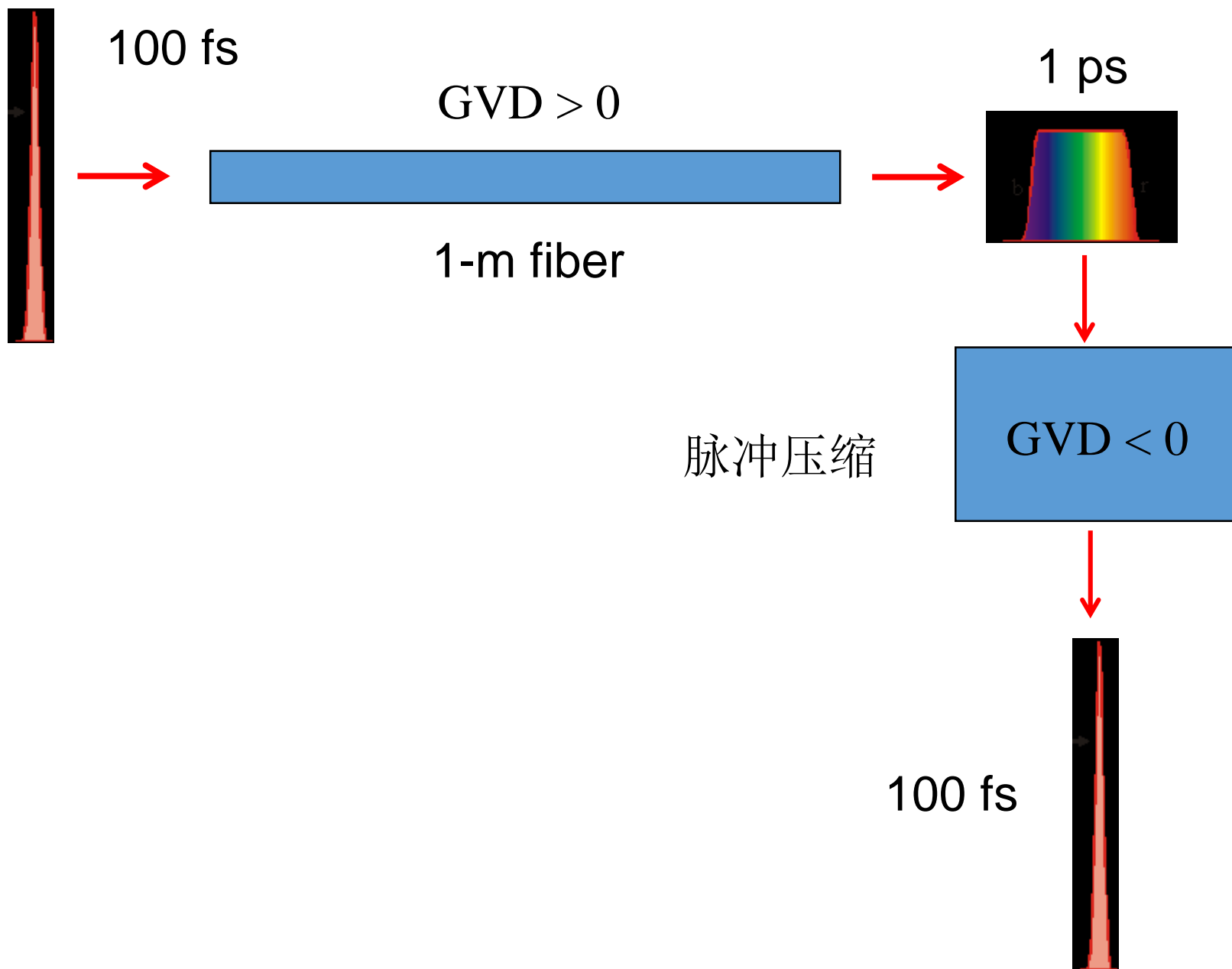


$GVD > 0$

1-m fiber



100 fs

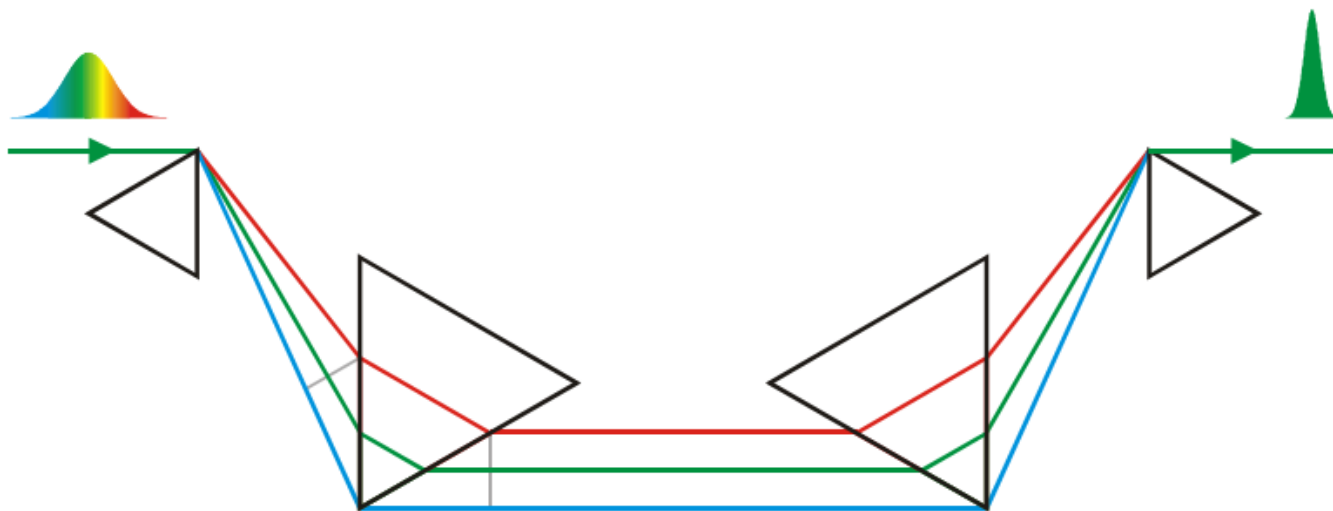




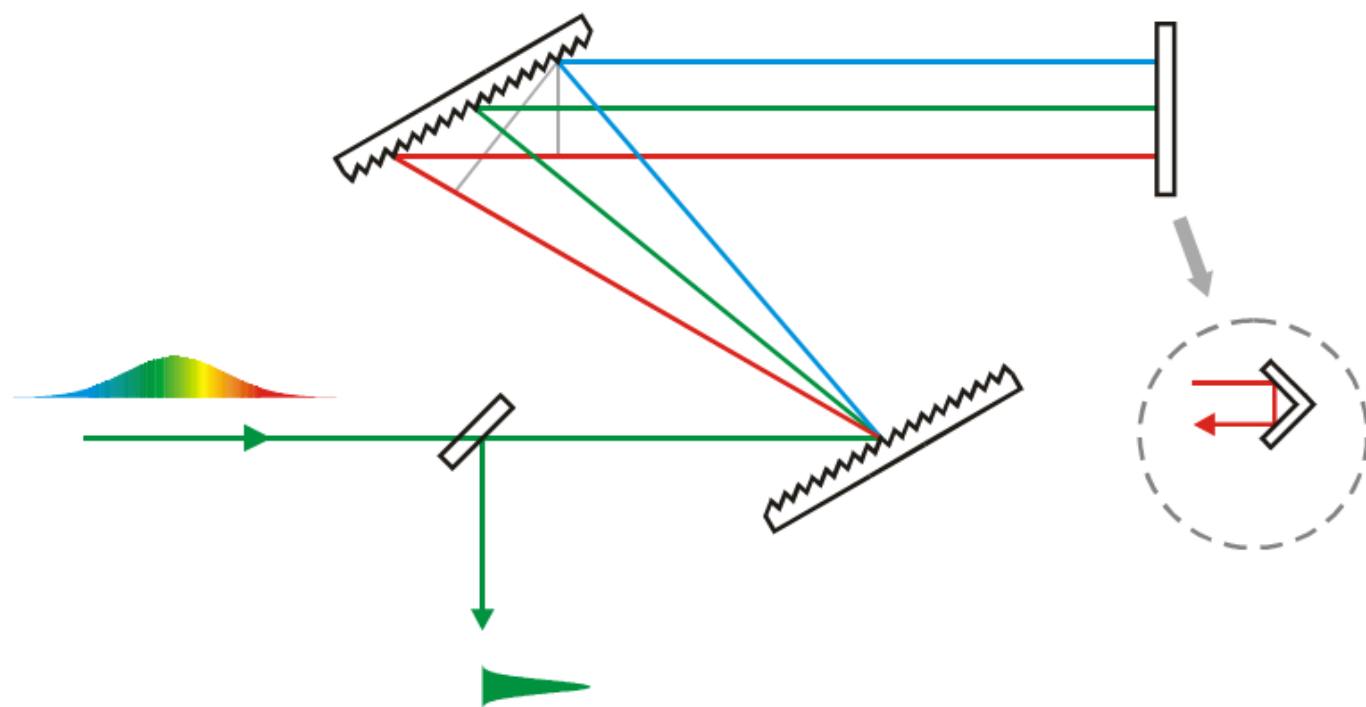
# 实现负群速色散的方法

## ——群速色散补偿

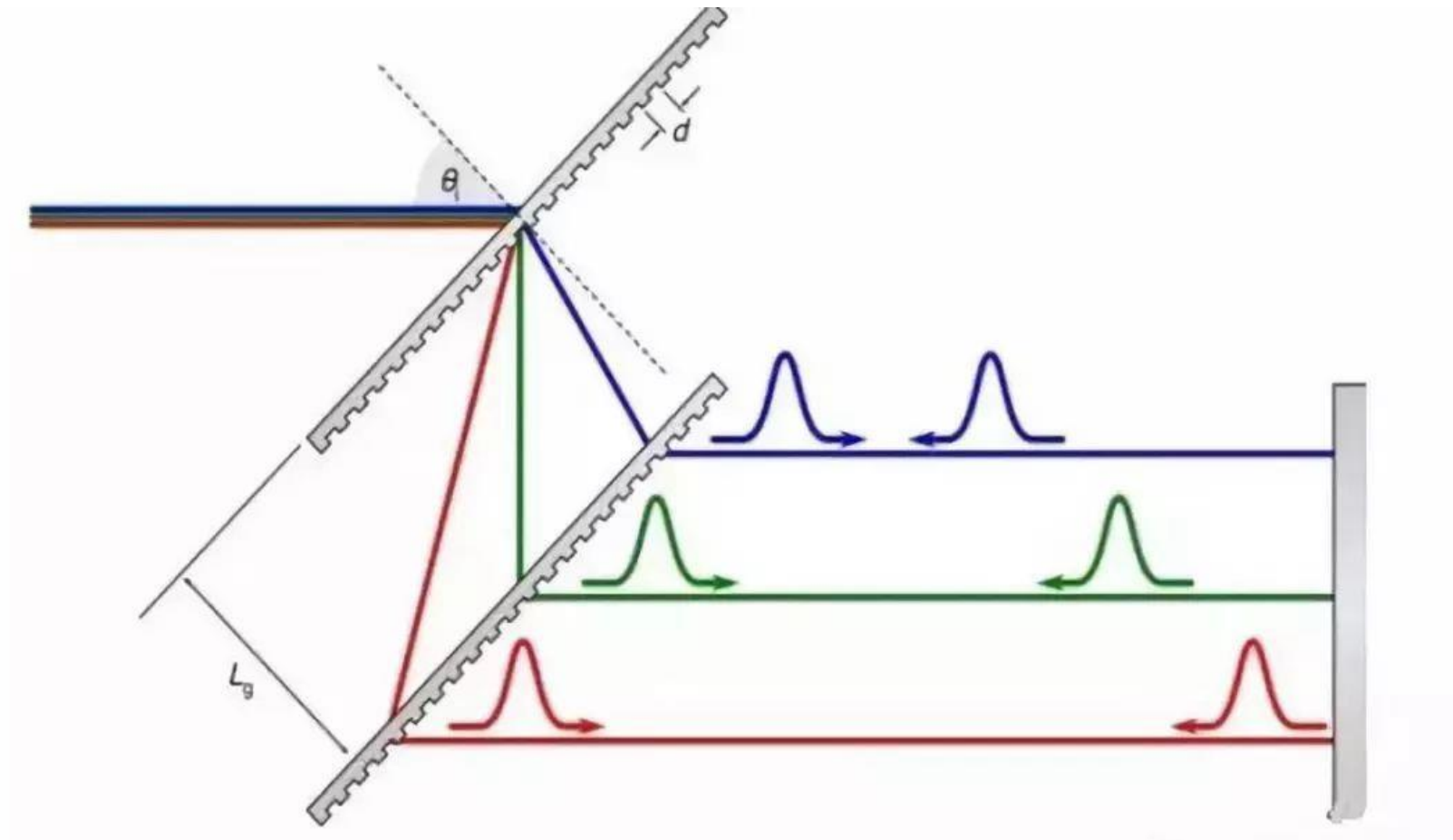
原则：利用脉冲中“蓝色”和“红色”成分所走的路径的长度不同进行群速色散补偿

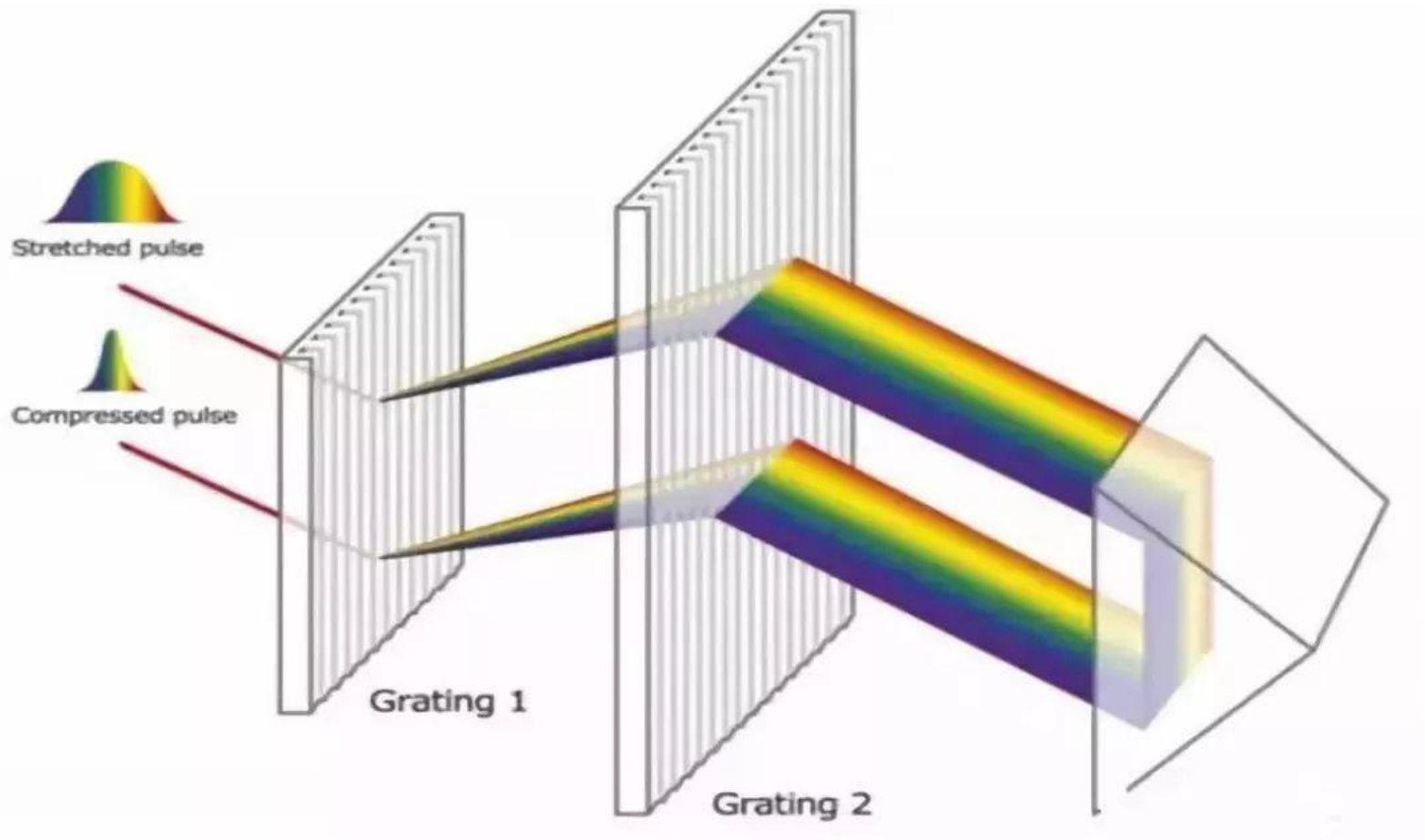


棱镜补偿

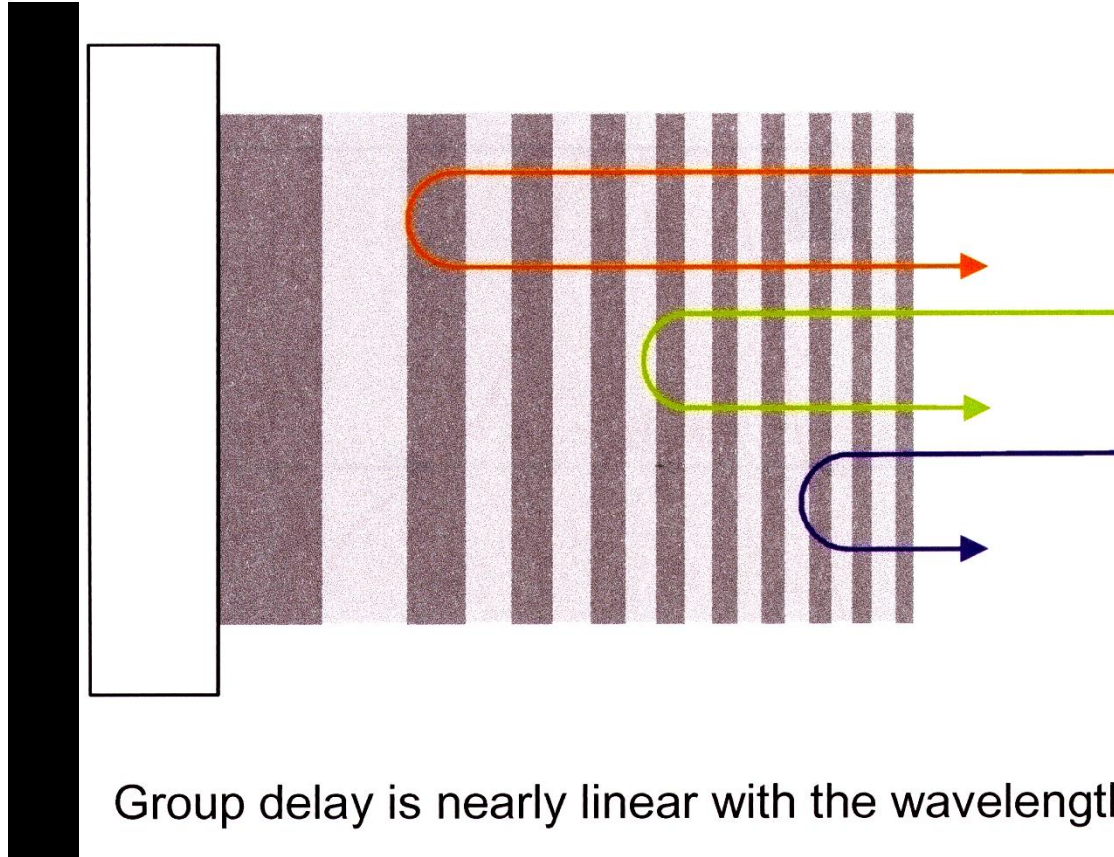


光栅补偿





## Ultrabroad-Band Chirped Multilayer Mirrors



啁啾镜补偿

## 第二章 光的吸收和色散

2.1 光的吸收

2.2 光的色散和群速色散

2.3 吸收和色散的经典描述

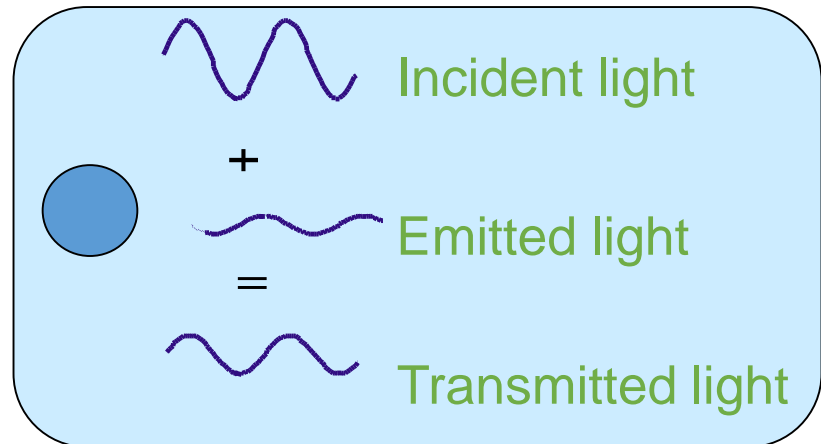
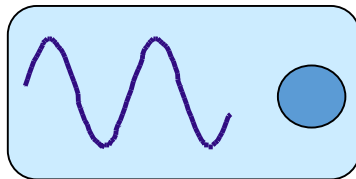
2.3.1 电介质的洛伦兹模型

2.3.2 金属的特鲁德模型

2.3.3  $D$ 和 $E$ 的关系中的因果性

## 经典电磁理论：

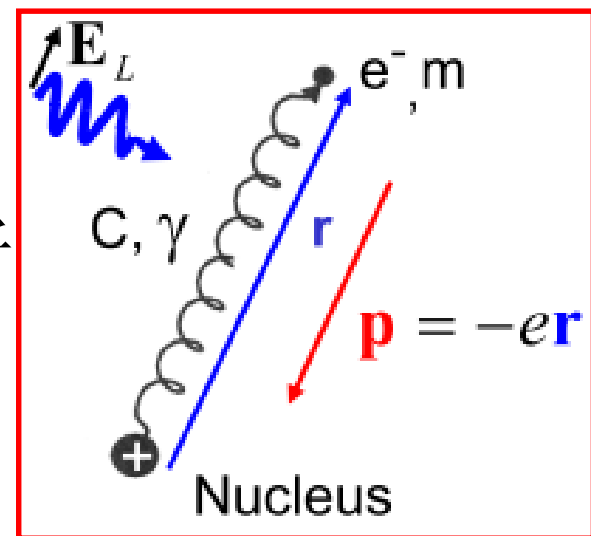
- 介质中电子和核将发生位移，形成电偶极子，并具有一定的固有振动频率 $\omega_0$ 。
- 外光场作用下，电偶极子将作受迫阻尼振荡。频率与外光场的频率相同。
- 振荡电偶极子形成次级光波，相干叠加的结果保证了光沿折射方向传播。



## 2.3.1 电介质的洛伦兹模型

### 洛伦兹的电子论假定：

1. 组成介质的原子或分子内的带电粒子（电子、离子）被准弹性力保持在它们的平衡位置附近，并且具有一定的固有振动频率。
2. 在入射光的作用下，介质发生极化，带电粒子依入射光频率作受迫振动。
3. 原子核（带正电荷）质量大：不动  
负电荷相对于正电荷作振动：电偶极子






正、负电荷构成一个电偶极子的电偶极矩：  $\mathbf{p} = q\mathbf{r}$

每个电子提供的原子偶极矩：  $p = -er$

单位体积平均电偶极矩（极化强度）：  $P = Np = -Ner$

作受迫振动的电子的运动方程：

$$m \frac{d^2 r}{dt^2} = -eE - fr - g \frac{dr}{dt}$$



电场强迫力      准弹性力      阻尼力

电子的固有振动频率：  $\omega_0 = \sqrt{f / m}$

阻尼（衰减）系数：  $\gamma = g / m$

电子的运动方程：

$$\frac{d^2 r}{dt^2} + \gamma \frac{dr}{dt} + \omega_0^2 r = -\frac{eE_0 e^{-i\omega t}}{m}$$

方程的解：

$$r(t) = \frac{(-e)}{m} \frac{E_0 e^{-i\omega t}}{(\omega_0^2 - \omega^2) - i\gamma\omega}$$

极化强度：

$$P = N(-e)r = \frac{Ne^2}{m} \cdot \frac{E_0 e^{-i\omega t}}{(\omega_0^2 - \omega^2) - i\gamma\omega}$$

$$P = \varepsilon_0 \chi E = \varepsilon_0 \chi E_0 e^{-i\omega t}$$

电极化率：

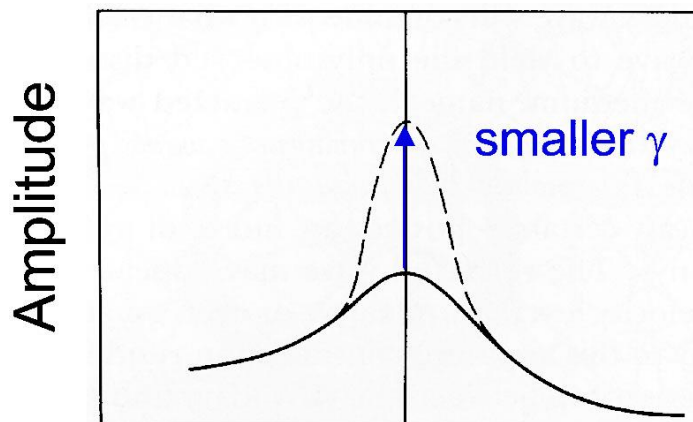
$$\chi = \frac{Ne^2}{m\varepsilon_0} \cdot \frac{1}{(\omega_0^2 - \omega^2) - i\gamma\omega} = \frac{\omega_p^2}{(\omega_0^2 - \omega^2) - i\gamma\omega} = |\chi| e^{i\theta(\omega)}$$

$$\omega_p^2 \equiv \frac{Ne^2}{\varepsilon_0 m} \quad \text{等离子体频率}$$

$$\chi = \frac{Ne^2}{m\varepsilon_0} \cdot \frac{1}{(\omega_0^2 - \omega^2) - i\gamma\omega} = \frac{\omega_p^2}{(\omega_0^2 - \omega^2) - i\gamma\omega}$$

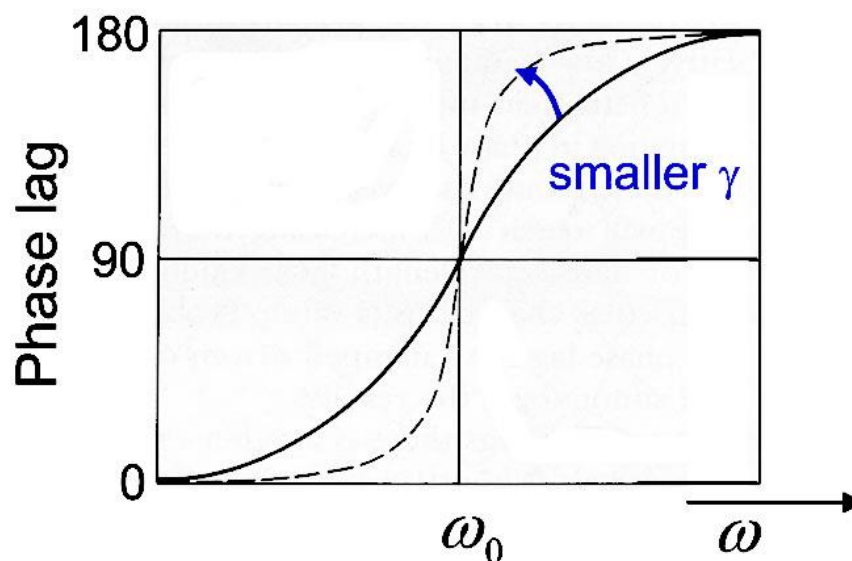
振幅:

$$|\chi| = \frac{\omega_p^2}{[(\omega_0^2 - \omega^2)^2 + \gamma^2 \omega^2]^{1/2}}$$

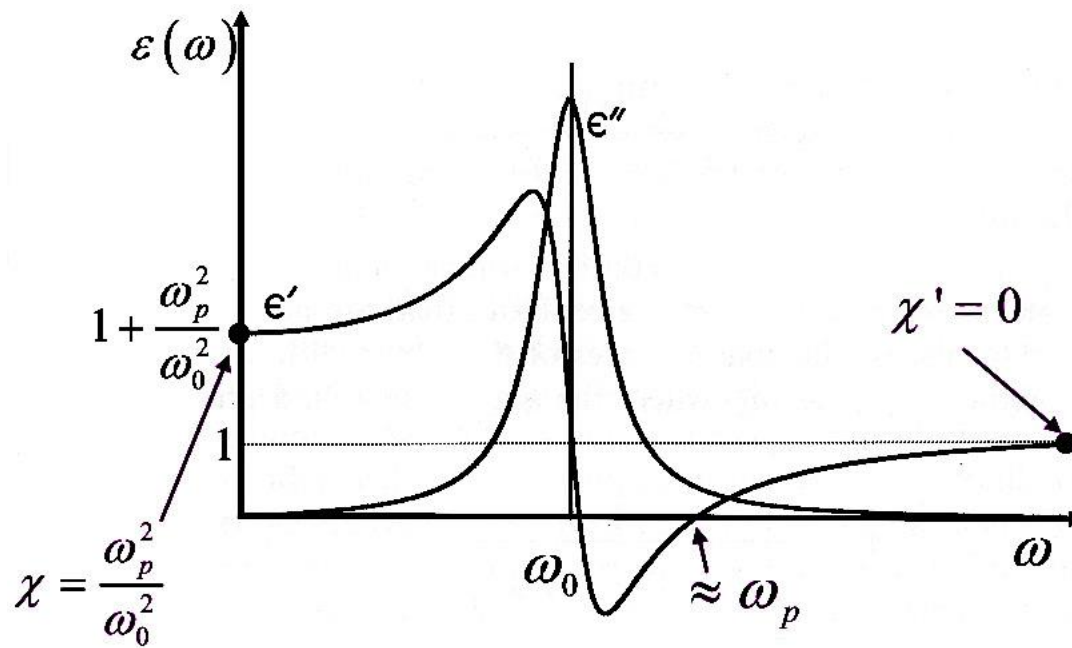


相位滞后:

$$\theta = \tan^{-1} \frac{\gamma\omega}{\omega_0^2 - \omega^2}$$



$$\varepsilon(\omega) = 1 + \frac{\omega_p^2(\omega_0^2 - \omega^2)}{(\omega_0^2 - \omega^2)^2 + \gamma^2\omega^2} + \frac{i\omega_p^2\gamma\omega}{(\omega_0^2 - \omega^2)^2 + \gamma^2\omega^2}$$



电极化率：
$$\chi = \frac{Ne^2}{m\varepsilon_0} \cdot \frac{1}{(\omega_0^2 - \omega^2) - i\gamma\omega} = \frac{\omega_p^2}{(\omega_0^2 - \omega^2) - i\gamma\omega}$$

复折射率：
$$\tilde{n}^2 = \varepsilon = 1 + \chi = 1 + \omega_p^2 \frac{1}{(\omega_0^2 - \omega^2) - i\gamma\omega}$$

特殊情况：当原子数密度N不大时，如稀薄气体， $|\chi| \ll 1$

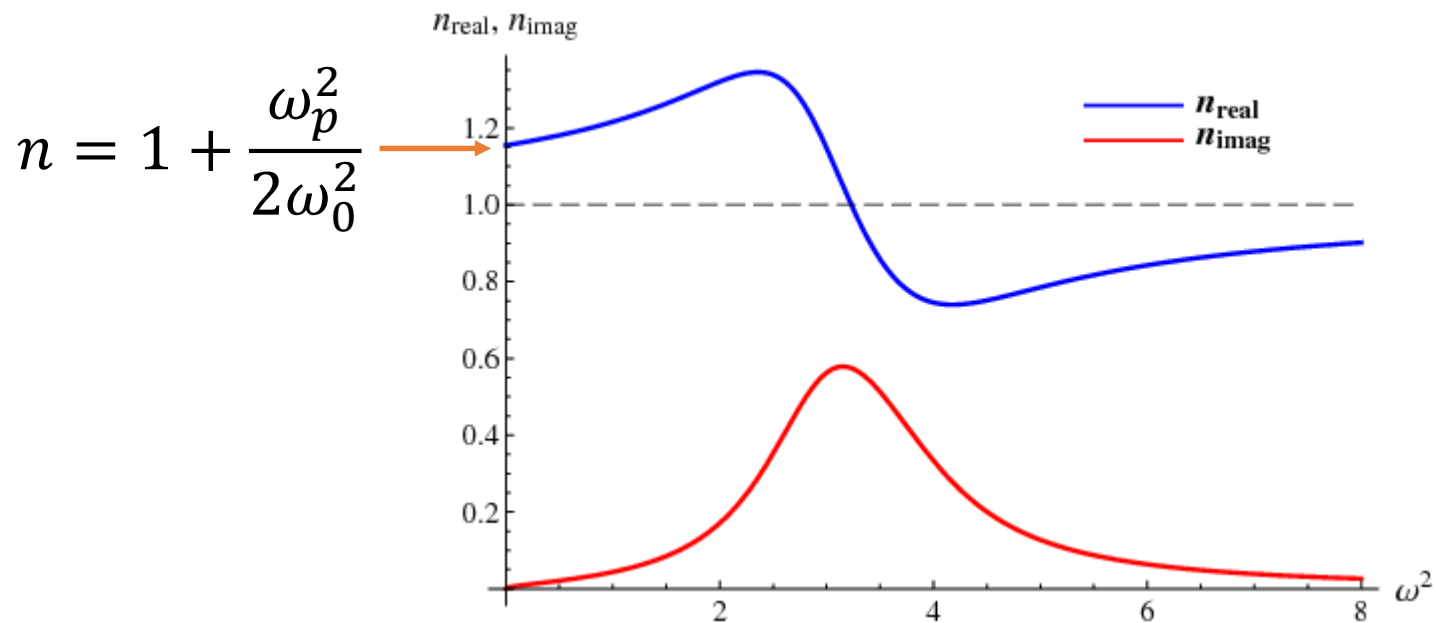
$$\tilde{n} = \sqrt{\varepsilon} = \sqrt{1 + \chi} \approx 1 + \frac{1}{2} \chi = 1 + \frac{1}{2} \chi' + \frac{i}{2} \chi'' = n + i\eta$$

$$n = 1 + \frac{\omega_p^2}{2} \cdot \frac{\omega_0^2 - \omega^2}{(\omega_0^2 - \omega^2)^2 + \gamma^2 \omega^2} \quad \eta = \frac{\omega_p^2}{2} \cdot \frac{\gamma\omega}{(\omega_0^2 - \omega^2)^2 + \gamma^2 \omega^2}$$

$|\omega - \omega_0| \ll \omega_0$ 时：

$$n = 1 + \frac{\omega_p^2}{4\omega} \cdot \frac{\omega_0 - \omega}{(\omega_0 - \omega)^2 + \left(\frac{\gamma}{2}\right)^2} \quad \eta = \frac{\omega_p^2}{8\omega} \cdot \frac{\gamma}{(\omega_0 - \omega)^2 + \left(\frac{\gamma}{2}\right)^2}$$

$$n = 1 + \frac{\omega_p^2}{2} \cdot \frac{\omega_0^2 - \omega^2}{(\omega_0^2 - \omega^2)^2 + \gamma^2 \omega^2} \quad \eta = \frac{\omega_p^2}{2} \cdot \frac{\gamma \omega}{(\omega_0^2 - \omega^2)^2 + \gamma^2 \omega^2}$$



具有单一共振频率的介质的色散关系

➤ 有多个共振频率的情况

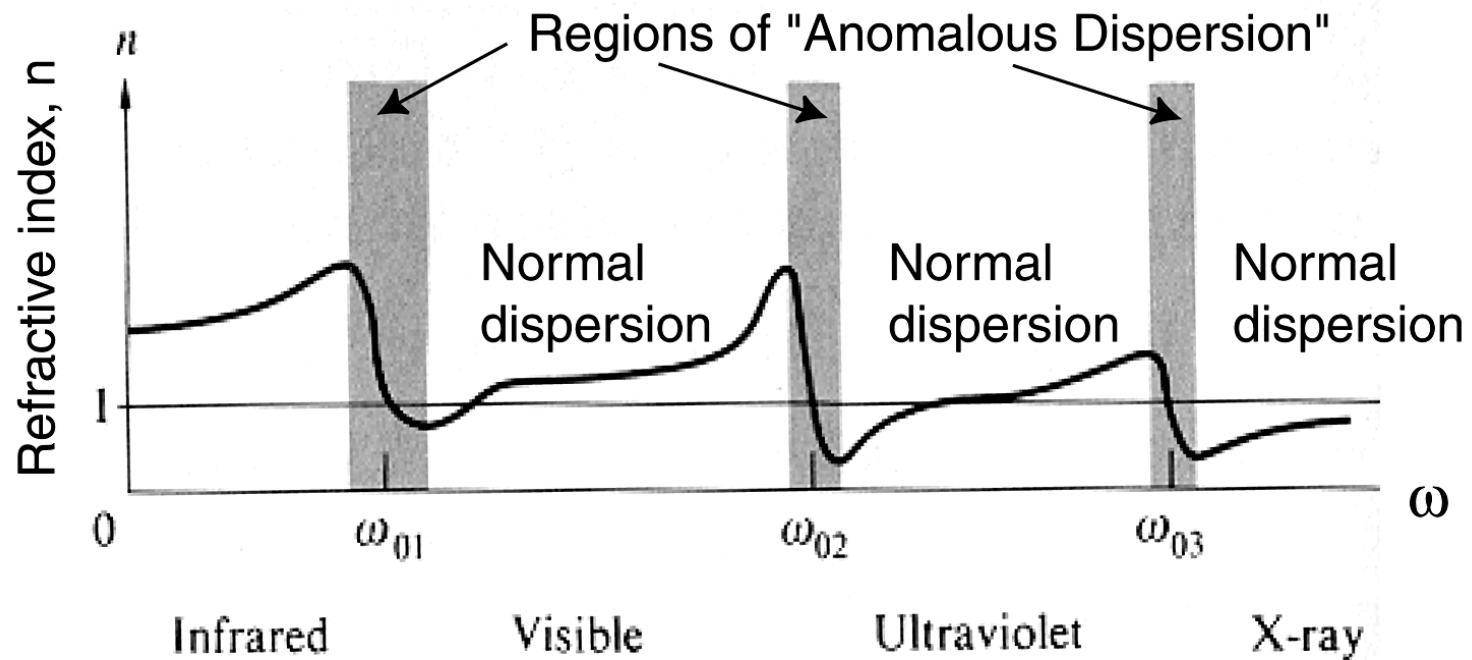
$f_j$ 个电子:  $\omega_j$ 、 $\gamma_j$

每个分子的电子  $Z = \sum_j f_j$

$$\varepsilon(\omega) = 1 + \frac{N'e^2}{m\varepsilon_0} \sum_j \frac{f_j}{(\omega_j^2 - \omega^2) - i\gamma_j\omega}$$

晶体的透明区域，折射率的半经验Sellmeier公式：

$$n^2 = 1 + \sum_j \frac{A_j \lambda^2}{\lambda^2 - \lambda_j^2}$$



有多个共振频率的介质的折射率



不同原子拥有不同共振频率,  $\omega_0$ , 和线宽,  $\gamma$ .



Atomic Hydrogen



Sodium



Helium



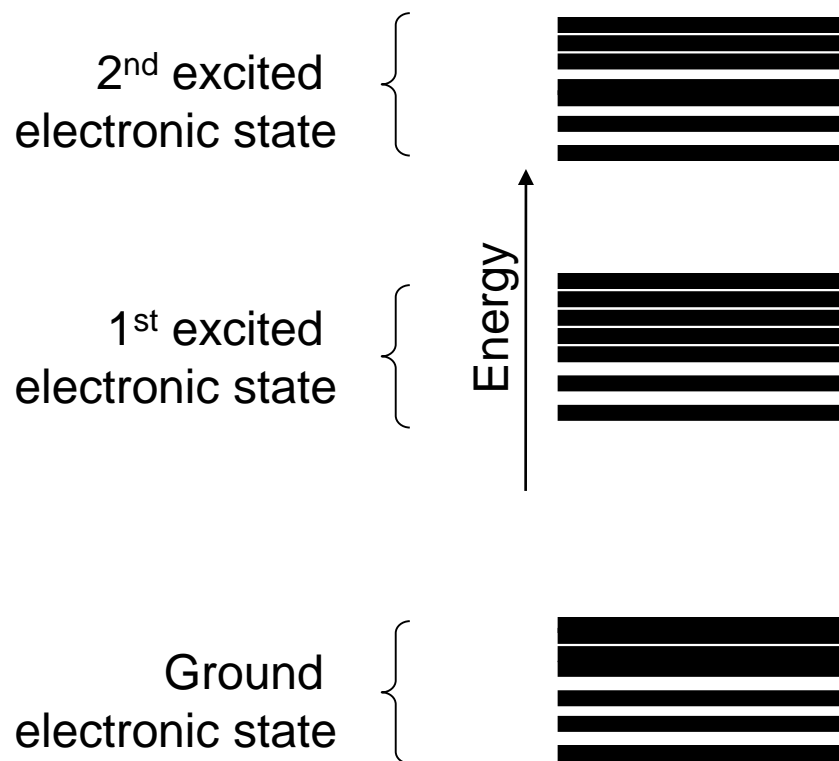
Neon

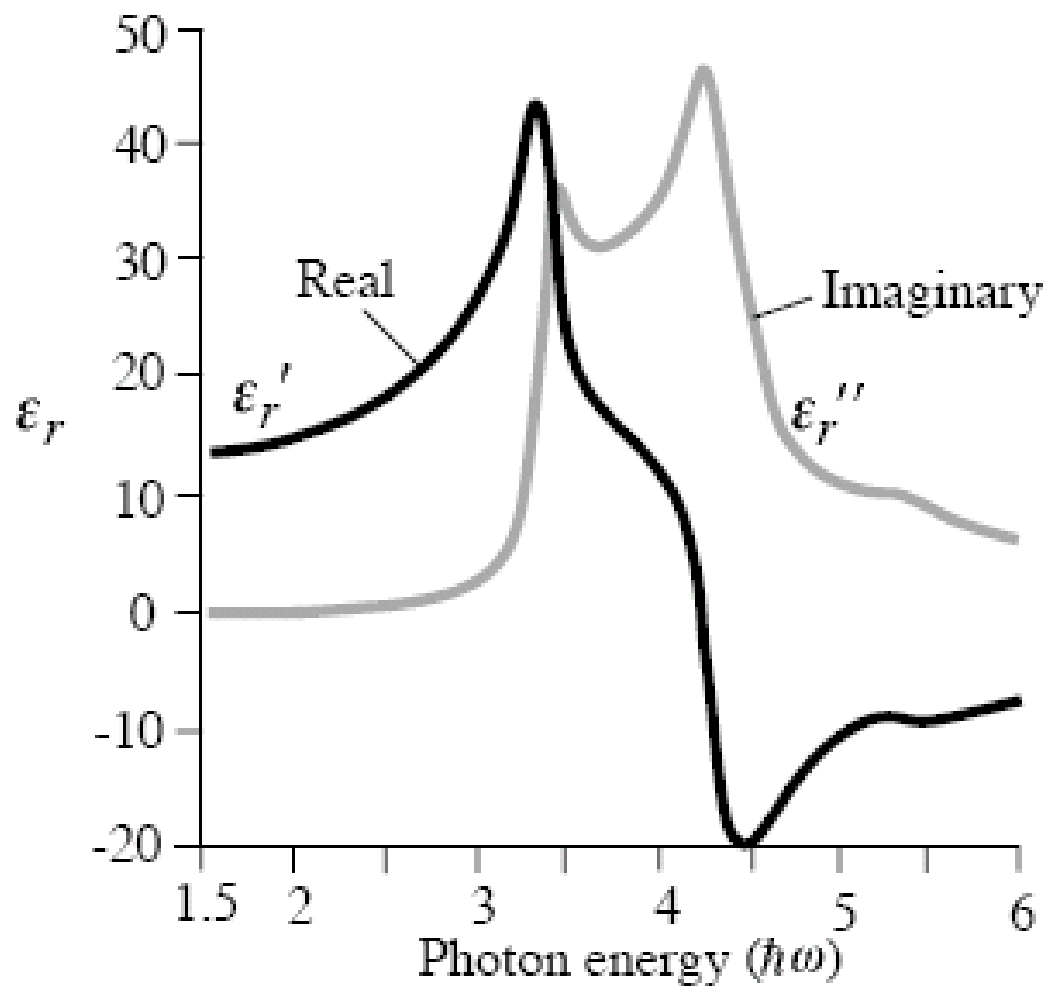


Mercury

# 分子比原子有更高的态密度，因此吸收谱要复杂得多

由于吸收有一定的线宽，这些能级可以重叠.





硅的相对介电常数的实部和虚部

## 2.3.2 金属的特鲁德 (Drude) 模型

自由电子金属

—— 电学和光学性质仅和导带电子有关  
包括碱金属、镁、铝、贵金属

自由电子金属



带内跃迁

普通金属



带间跃迁



贵金属

## 特鲁德模型：

1. 只考虑外力对自由的导带电子的影响
2. 宏观的响应是单电子效应乘以电子数----考虑电子间拥有最强的耦合，即对于微扰所有电子同相相干响应

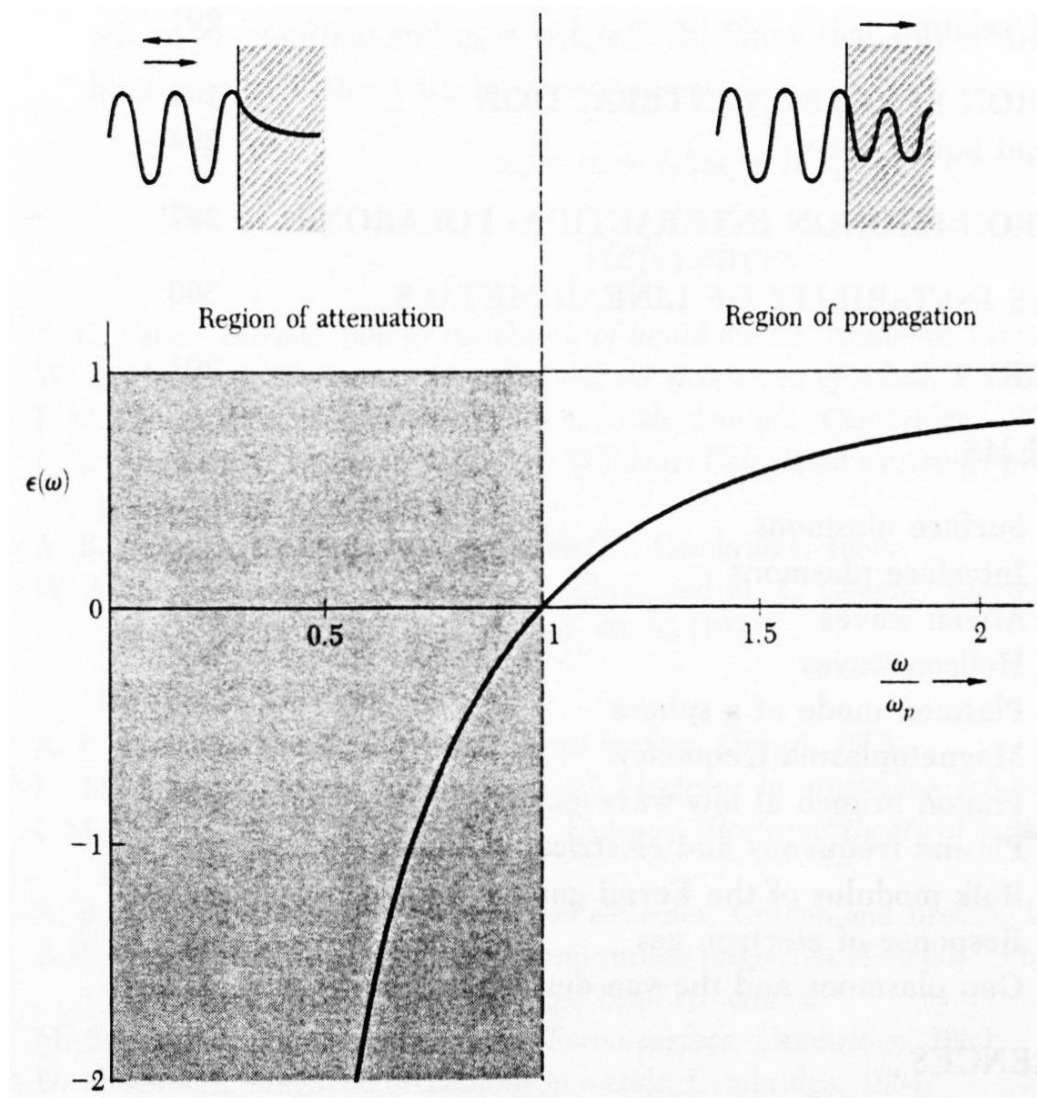
运动方程：
$$m \frac{d^2 r}{dt^2} + m\gamma \frac{dr}{dt} = -eE_0 e^{-i\omega t}$$

$$\varepsilon(\omega) = 1 - \frac{\omega_p^2}{\omega^2 + i\gamma\omega} = 1 - \frac{\omega_p^2}{\omega^2 + \gamma^2} + i \frac{\omega_p^2 \gamma}{\omega(\omega^2 + \gamma^2)}$$

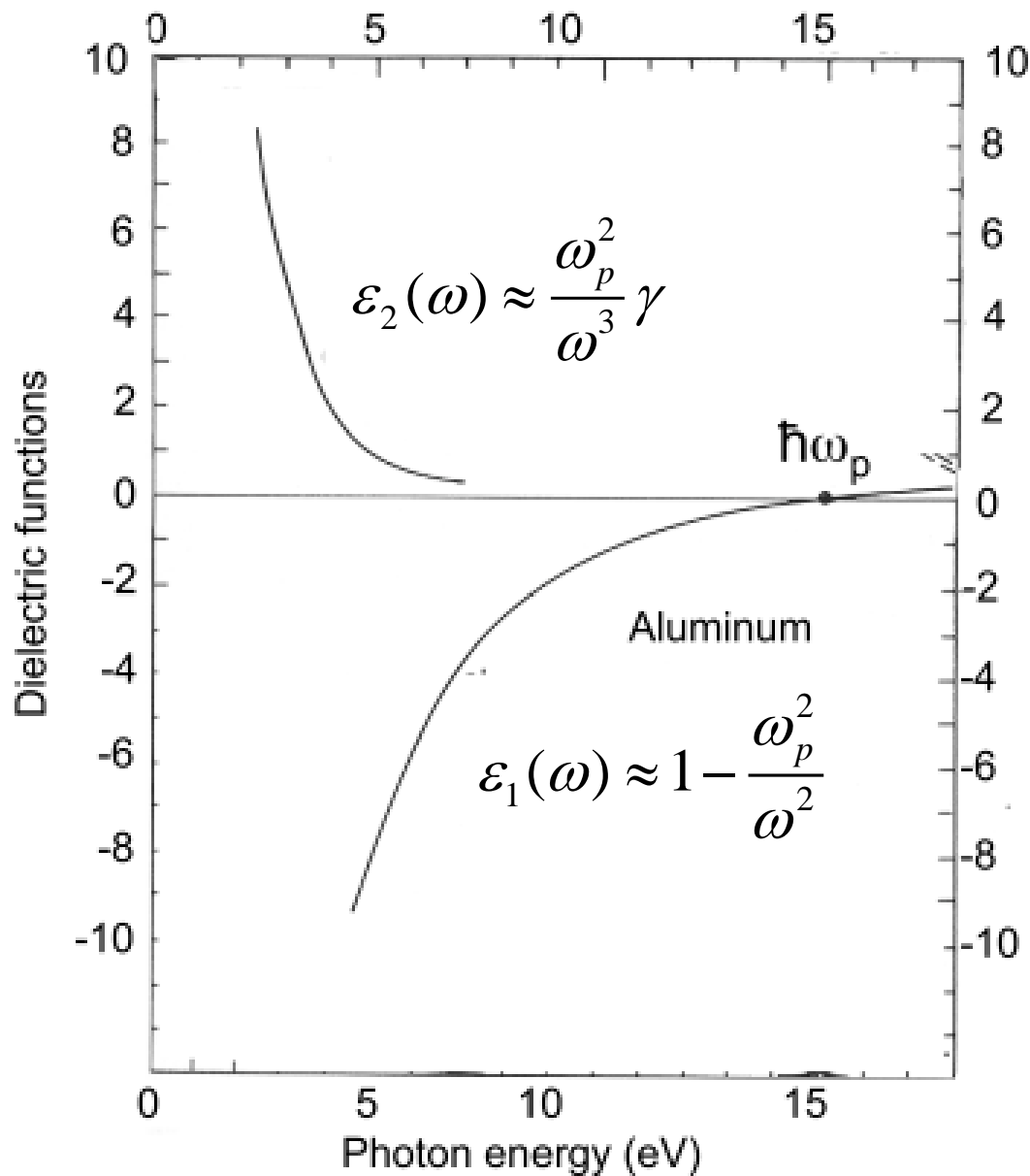
$$\omega_p = \left( \frac{ne^2}{\varepsilon_0 m} \right)^{\frac{1}{2}} \quad (\text{特鲁德}) \text{ 等离子体频率}$$

$\omega \gg \gamma$  时：

$$\varepsilon_1(\omega) \approx 1 - \frac{\omega_p^2}{\omega^2} \quad \varepsilon_2(\omega) \approx \frac{\omega_p^2}{\omega^3} \gamma$$

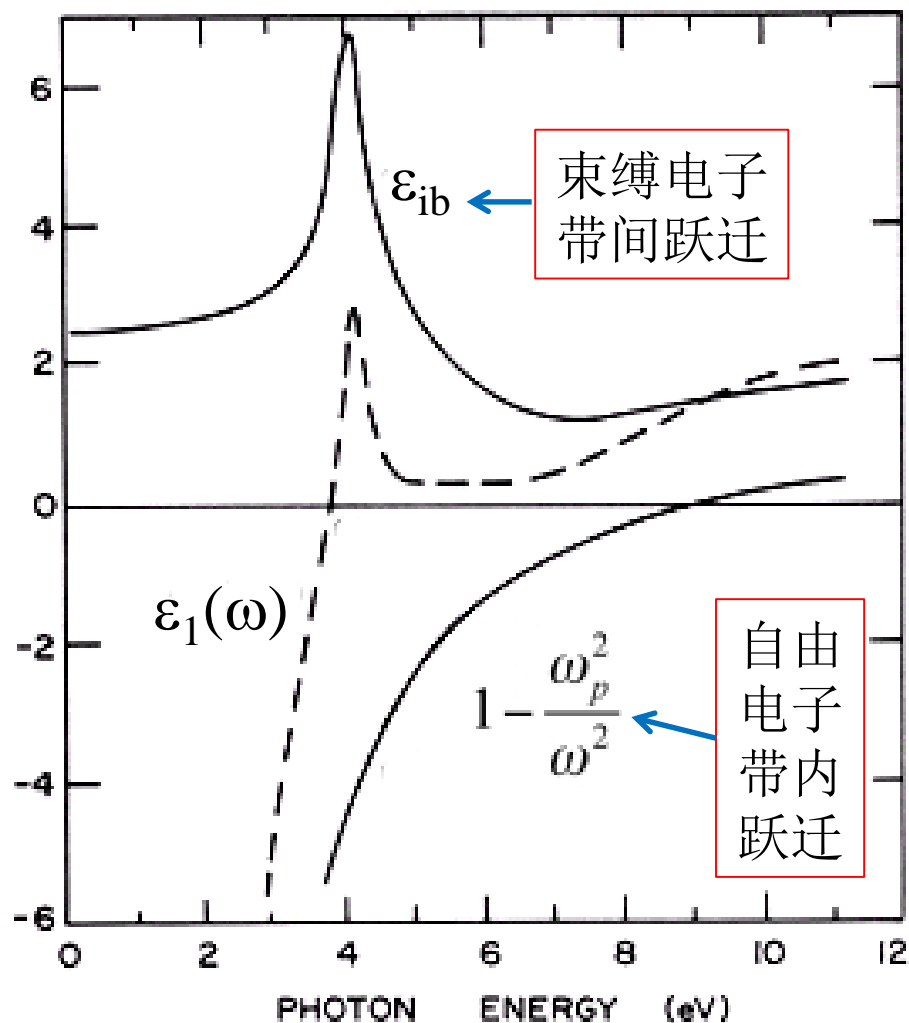


自由电子金属的介电常数的实部随频率的变化



铝：自由电子金属  
只有导带电子起作用



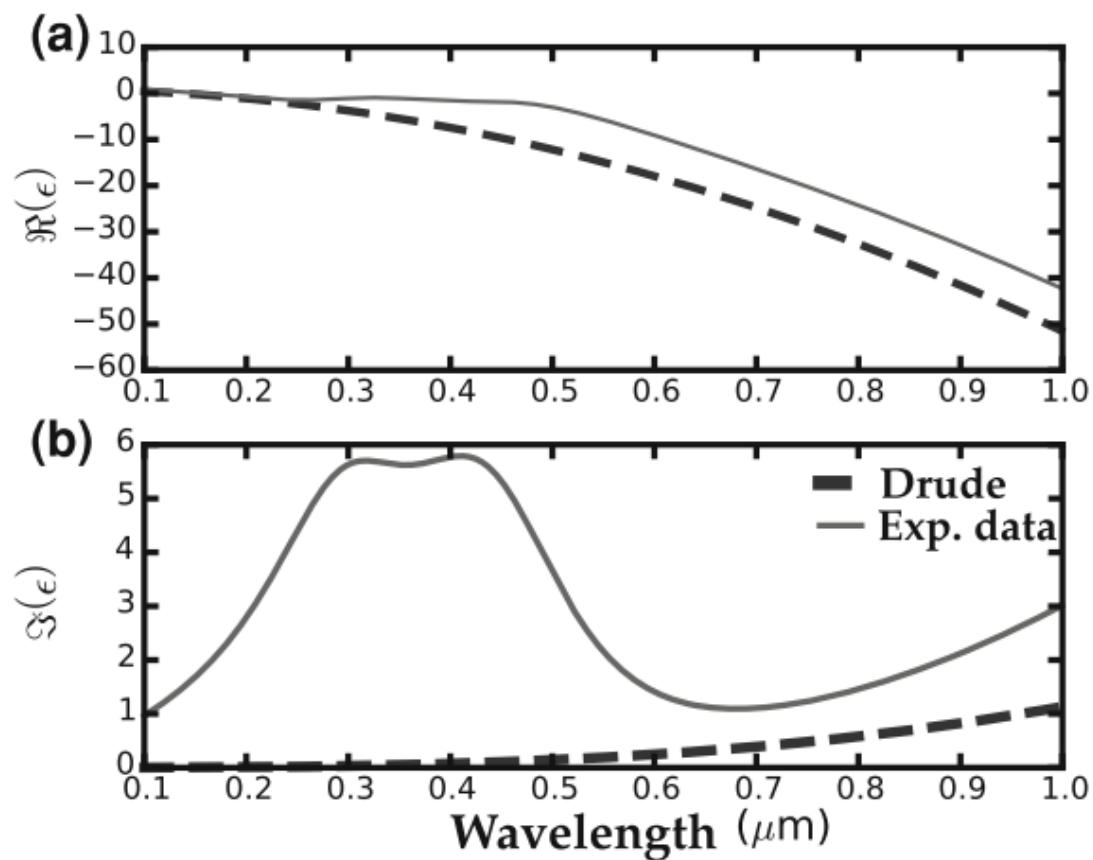


银：束缚电子和自由电子同时起作用

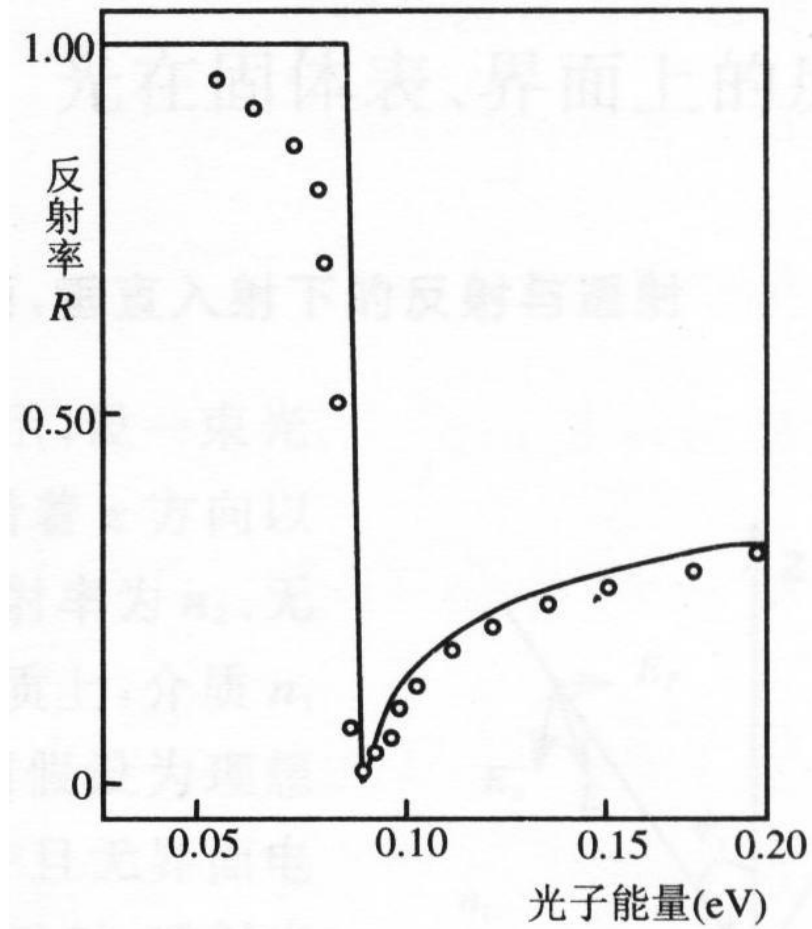
$$\epsilon_1(\omega) = 1 + \epsilon_{ib} - \frac{\omega_p^2}{\omega^2}$$

束缚电子  
带间跃迁

自由电子  
带内跃迁



金的介电常数的实部和虚部的实验结果和Drude模型结果比较

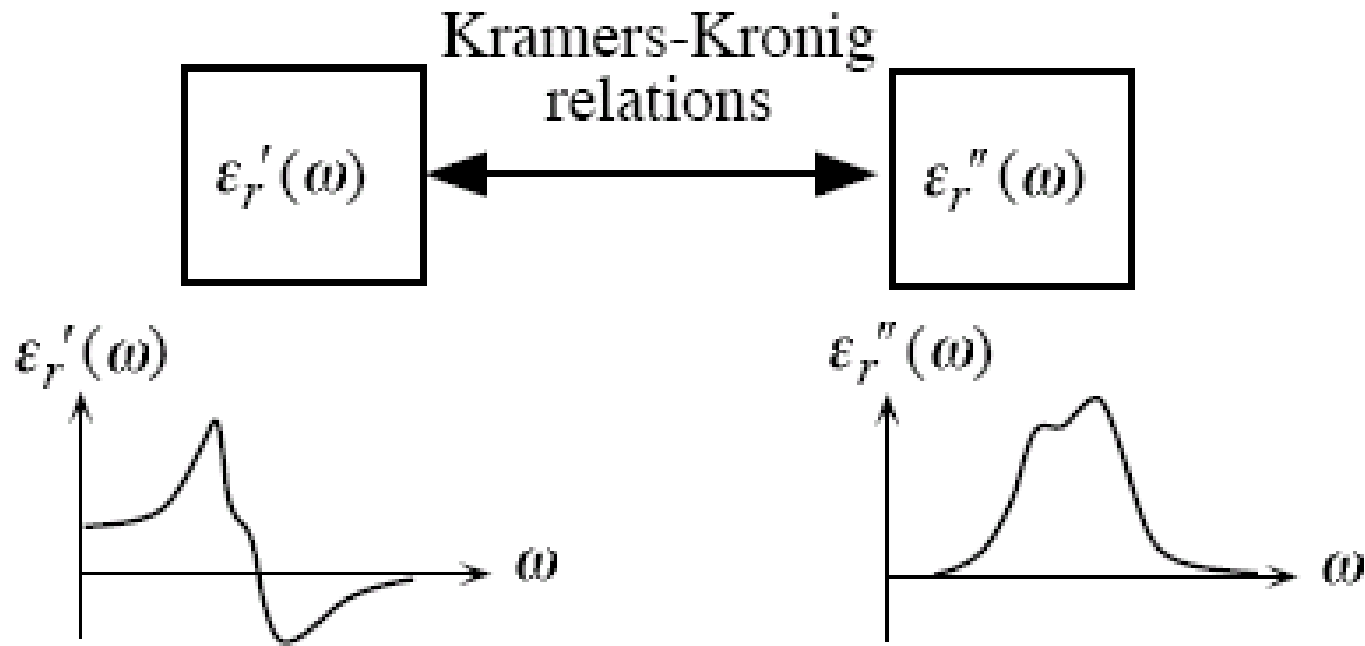


垂直入射时n型InSb光学反射率的实验值（点）和理论计算（实线）

### 2.3.3 D和E的关系中的因果性：克喇末 - 克朗尼格关系 (KK关系)

**问题：**介质的光学参数都与微观粒子在光场的作用下的运动有关，那么，光学参数之间有没有一定的内在联系？

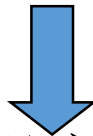
# 介电常数 $\epsilon(\omega)$ 的实部和虚部的关系 —— KK关系



条件：线性系统，相对介电常数与外场强度无关

单脉冲响应：假设系统是线性的，对于复杂的随时间变化的场的响应，可以由脉冲响应的叠加来构建。

$t = 0$ 时刻短时间间隔 $dt$ 、 $E \rightarrow Edt$ （场脉冲）



极化强度 $EX(t)dt$

$X(t)$ ：脉冲响应

对 $t = 0$ 时刻单位脉冲（ $Edt = 1$ ）的响应

因果律要求： $X(t) = 0$ （ $t < 0$ ）

$X(t)$  更一般的形式： $X(t-0)$

观察响应的时刻

施加激励脉冲的时刻

求一般的场 $E(t)$ 所产生的极化强度

$t'$ 时刻的脉冲 $E(t')dt' \rightarrow X(t-t')$

$t$ 时刻的极化强度，为 $t$ 时刻前所有脉冲响应叠加：

$$P(t) = \int_{-\infty}^t E(t')X(t-t')dt'$$

根据因果律，作用脉冲时刻 $t'$ 在观察时刻 $t$ 之后时对响应没有作用，脉冲响应为零。

即 $t - t' < 0$ 时， $X(t - t') = 0$ ，积分上限可以扩展到 $\infty$

$$P(t) = \int_{-\infty}^{\infty} E(t') X(t - t') dt'$$

对于单色电场:  $E = E_0 \exp(i\omega t)$

$$P(t) = E_0 \int_{-\infty}^{\infty} e^{i\omega t'} X(t - t') dt' \quad t'' \equiv t - t'$$

$$P(t) = \underline{E_0 e^{i\omega t}} \int_{-\infty}^{\infty} e^{-i\omega t''} X(t'') dt''$$

$$P(t) = E \chi(\omega) \quad \text{极化率}$$

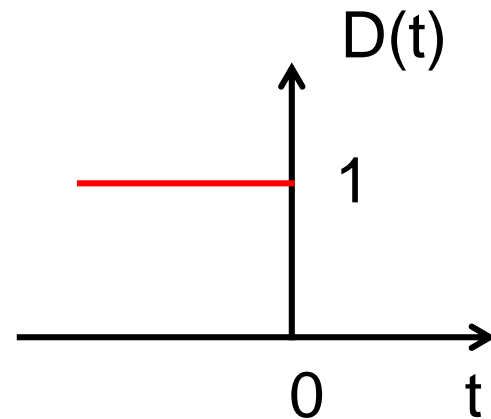
$$D = \varepsilon_0 \varepsilon(\omega) E = \varepsilon_0 E + P$$

$$\varepsilon_0 [\varepsilon(\omega) - 1] = \chi(\omega)$$



为了求得KK关系，利用单位阶跃函数

$$d(t) = \begin{cases} \lim_{s \rightarrow 0} \exp(st) \quad (\sim 1), & \text{when } t < 0; \\ 0 & \text{when } t \geq 0. \end{cases}$$



此单位阶跃函数的傅立叶变换

$$D(\omega) = \lim_{s \rightarrow 0} (s - i\omega)^{-1}$$

由于  $X(t) = 0$  ( $t < 0$ ), 则

$X(t)d(t) = 0$  对此式进行傅立叶变换:

$$\chi(\omega) * D(\omega) = 0$$

卷积定义:  $F_1(\omega) * F_2(\omega) = \int_{-\infty}^{\infty} F_1(\omega') F_2(\omega - \omega') d\omega'$

$$\begin{aligned}
 0 &= \chi(\omega) * D(\omega) = \lim_{s \rightarrow 0} \int_{-\infty}^{\infty} \frac{\chi(\omega')}{s - i(\omega - \omega')} d\omega' \\
 &= \varepsilon_0 \lim_{s \rightarrow 0} \int_{-\infty}^{\infty} \frac{\varepsilon(\omega') - 1}{s - i(\omega - \omega')} d\omega'
 \end{aligned}$$

将积分分为两部分： 1.  $\omega - s \rightarrow \omega + s$ ; 2. 其余部分。

1.

$$\lim_{s \rightarrow 0} \int_{\omega-s}^{\omega+s} \frac{\varepsilon(\omega') - 1}{s - i(\omega - \omega')} d\omega' = [\varepsilon(\omega) - 1] \lim_{s \rightarrow 0} \int_{\omega-s}^{\omega+s} \frac{d\omega'}{s - i(\omega - \omega')} = \pi [\varepsilon(\omega) - 1]$$

$\varepsilon(\omega')$  为常数

(结果与  $s$  无关)

$$2. \quad \lim_{s \rightarrow 0} \left( \int_{-\infty}^{\omega-s} + \int_{\omega+s}^{\infty} \right) \frac{\varepsilon(\omega') - 1}{s - i(\omega - \omega')} d\omega' \equiv \mathcal{P} \int_{-\infty}^{\infty} \frac{\varepsilon(\omega') - 1}{-i(\omega - \omega')} d\omega'$$

主部

$$\varepsilon(\omega) = 1 + \frac{1}{\pi} \mathcal{P} \int_{-\infty}^{\infty} \frac{\varepsilon(\omega') - 1}{i(\omega - \omega')} d\omega'$$

$$\varepsilon(\omega) = \varepsilon_1(\omega) + i\varepsilon_2(\omega)$$

实部:  $\varepsilon_1(\omega) = 1 + \frac{1}{\pi} \mathcal{P} \int_{-\infty}^{\infty} \frac{\varepsilon_2(\omega')}{(\omega - \omega')} d\omega'$

$$= 1 + \frac{2}{\pi} \mathcal{P} \int_0^{\infty} \frac{\omega' \varepsilon_2(\omega')}{(\omega^2 - \omega'^2)} d\omega'$$

虚部:  $\varepsilon_2(\omega) = -\frac{1}{\pi} \mathcal{P} \int_{-\infty}^{\infty} \frac{\varepsilon_1(\omega') - 1}{(\omega - \omega')} d\omega'$

$$= -\frac{2}{\pi} \mathcal{P} \int_0^{\infty} \frac{\omega [\varepsilon_1(\omega') - 1]}{(\omega^2 - \omega'^2)} d\omega'$$

用到  
 $\varepsilon(\omega) = \varepsilon^*(-\omega)$

OPTICAL SCIENCES

V. Lucarini  
J.J. Saarinen  
K.-E. Peiponen  
E.M. Vartiainen

# Kramers-Kronig Relations in Optical Materials Research

 Springer

洛伦兹模型：

$$n = 1 + \frac{\omega_p^2}{2} \cdot \frac{\omega_0^2 - \omega^2}{(\omega_0^2 - \omega^2)^2 + \gamma^2 \omega^2}$$

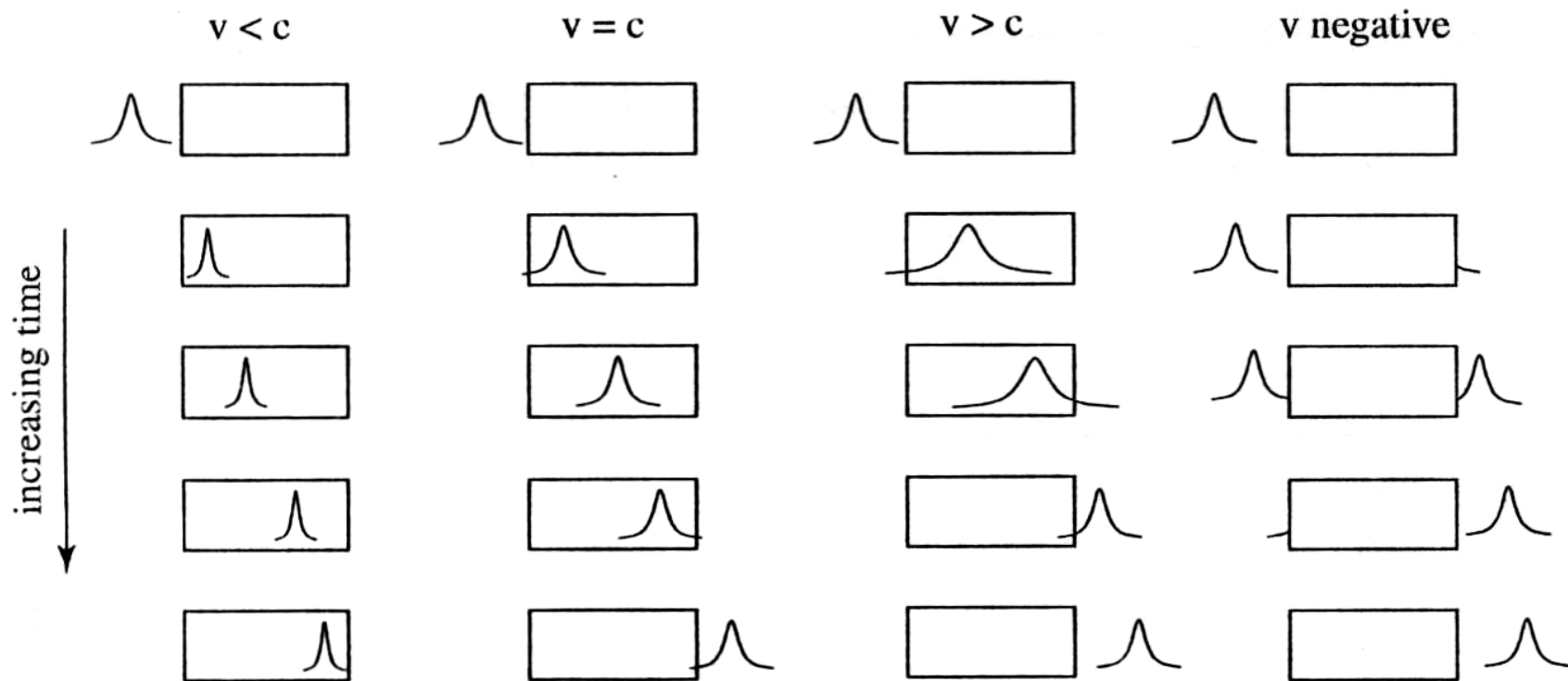
$$\eta = \frac{\omega_p^2}{2} \cdot \frac{\gamma \omega}{(\omega_0^2 - \omega^2)^2 + \gamma^2 \omega^2}$$

KK关系

补充

# 群速超光速传播

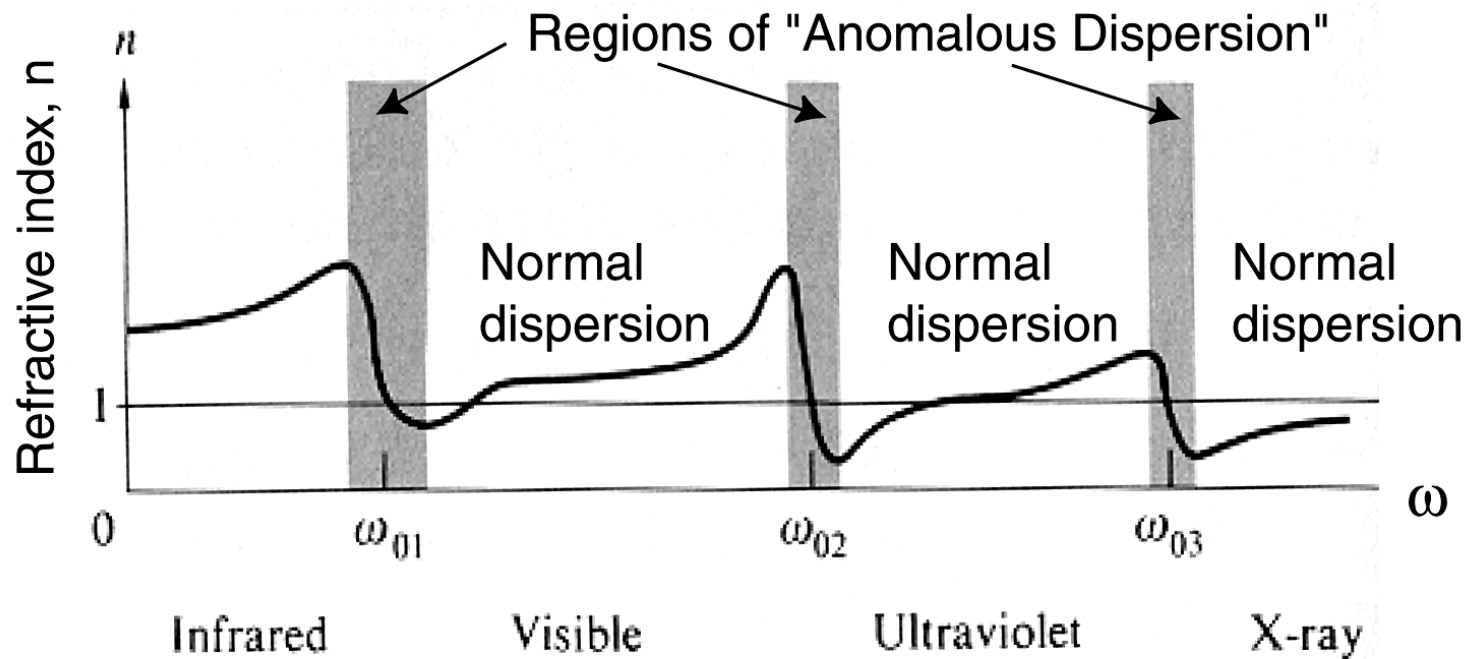
$$V = c$$



# 在非吸收区群速小于相速

$$v_g = c_0 / (n + \omega \, dn/d\omega)$$

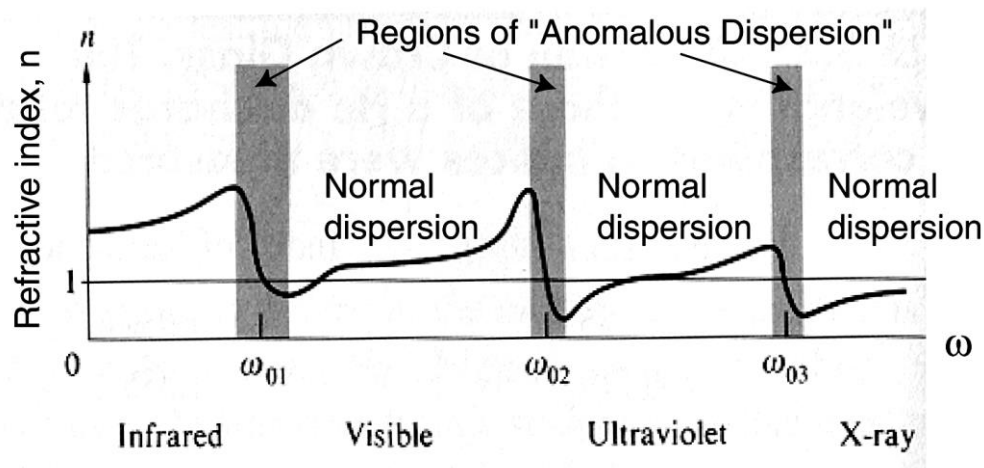
在正常色散区  $dn/d\omega$  是正的,  $v_g < c$



# 在反常色散区群速可以超过真空光速

$$v_g = c_0 / (n + \omega \, dn/d\omega)$$

在反常色散区  $dn/d\omega$  为负, 也就是在近共振时,  $v_g$  可以超过  $c_0$



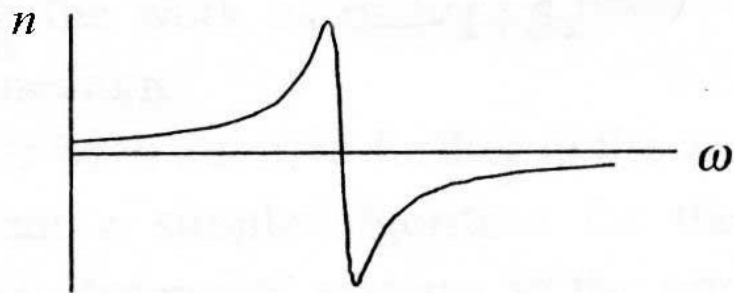
问题: 1. 吸收非常强; 2. 共振区通常很窄, 只有在一个很窄的区域有  $v_g > c_0$ , 超出这个频率范围  $v_g < c_0$ , 光脉冲 (具有较宽的频谱) 将分裂变形。

# 超光速实验

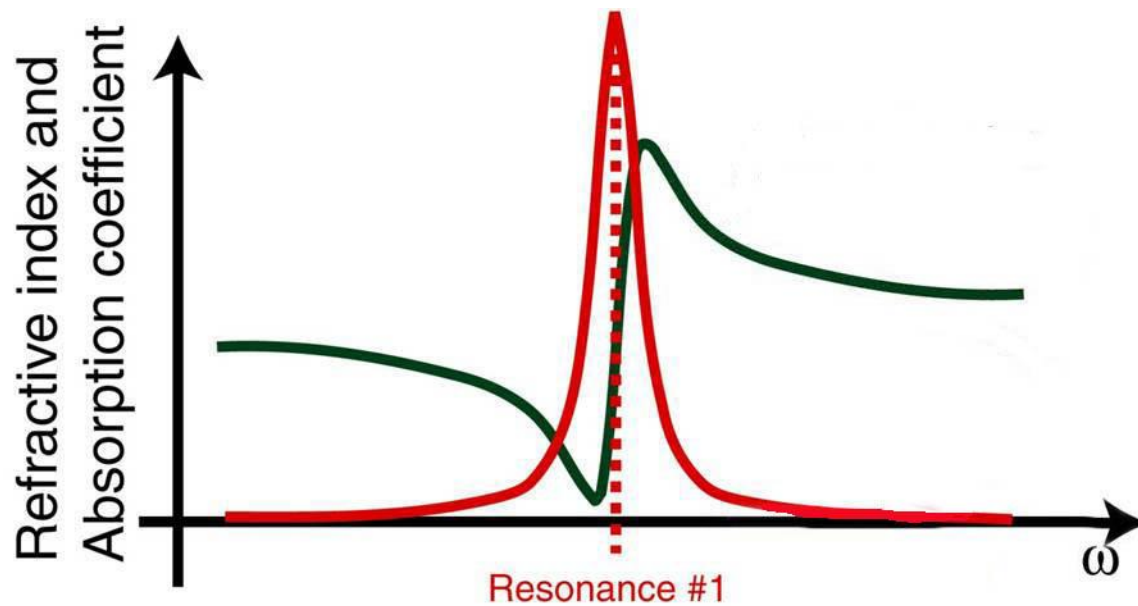
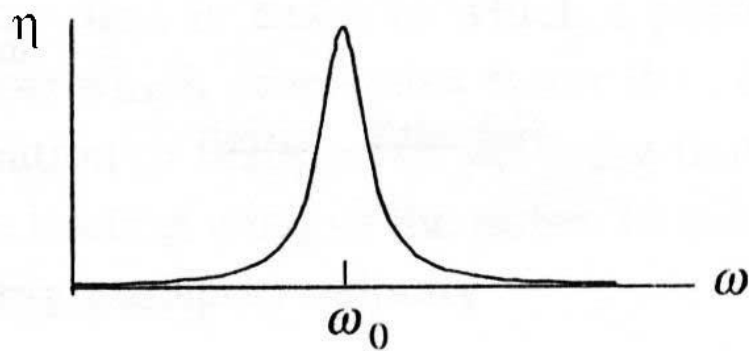
条件：1. 在一个比较大的频率范围内获得负的 $dn/d\omega$ ;  
2. 在这个范围内吸收要小，群速色散小。

方法：利用光脉冲产生增益（代替吸收），使色散曲线反转，  
在两个共振峰之间可以获得小的吸收和近线性的负斜率。



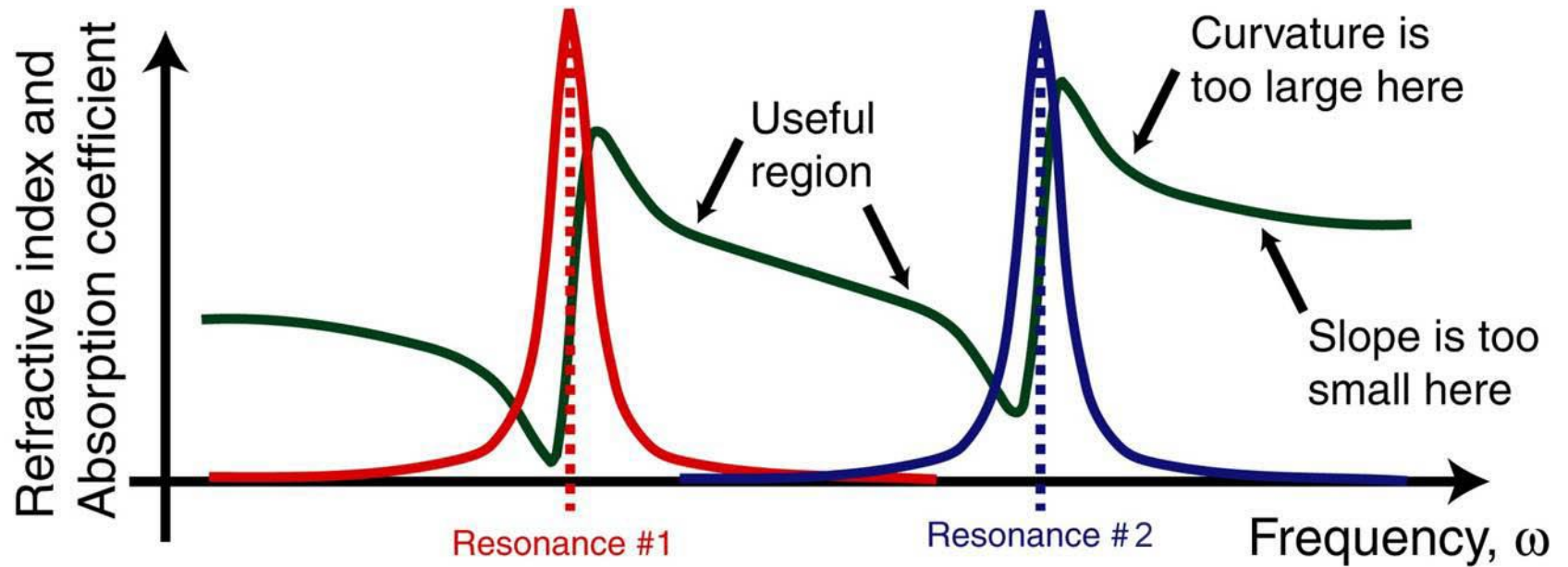


吸收的情况



增益的情况

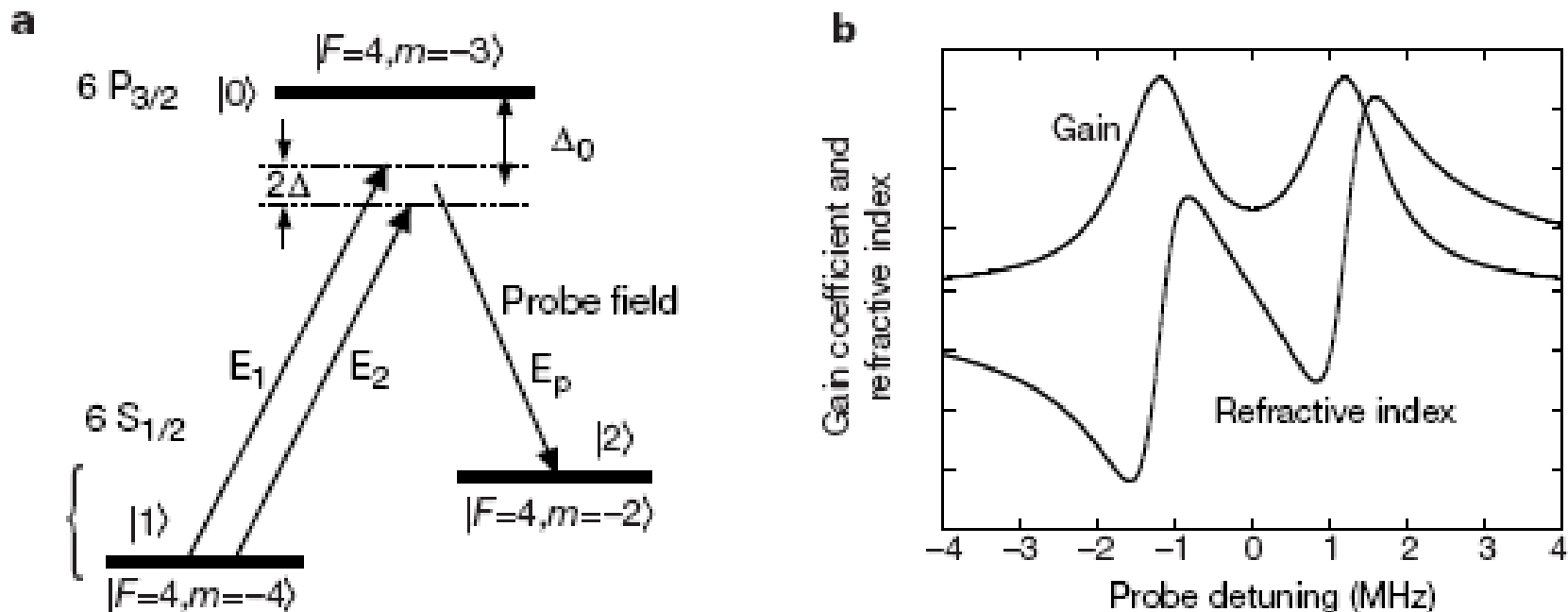
## 两个共振峰的情况



# 铯蒸气中增益协助超光速传播

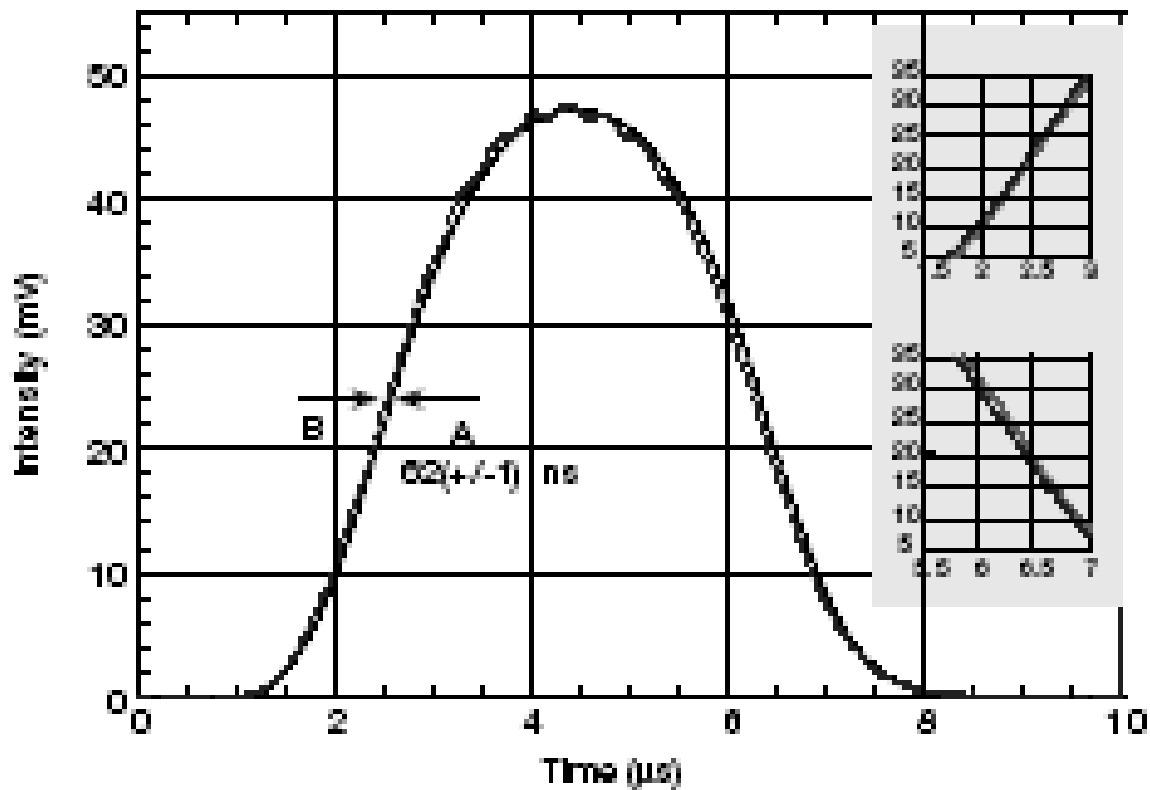
## Gain-assisted superluminal light propagation

Nature 406 (2000, July, 20 ) 277, L.J. Wang et. al.



$$\lambda = 852 \text{ nm}, \Delta n = -1.8 \times 10^{-6}, \Delta \nu = 1.9 \text{ MHz}$$

理论值: 
$$n_g = n + \omega \frac{dn}{d\omega} = -332.6$$



3.7  $\mu\text{s}$ 脉冲光通过介质——6 cm铯蒸气

$E_1, E_2$  存在时与不存在时通过介质的时间差为  $t - t_0 = -62 \pm 1 \text{ ns}$

$$\text{实验值: } n_g = \frac{c}{v_g} = \frac{L/t_0}{L/(t_0 + \Delta t)} = \frac{t_0 + \Delta t}{t_0} = \frac{0.2 - 62}{0.2} = -309$$